



بررسی سرعت القایی و حساسیت سنجی نیروی برآ در تئوری المان تیغه برای شبیه سازی حرکت بالزن در پرواز ایستا

امیرحسین زرعی^۱، محمدحسن جوارشکیان^{۲*}

۱- دانشجوی کارشناسی ارشد، آبودینامیک، دانشگاه فردوسی مشهد، مشهد

۲- دانشیار، مهندسی مکانیک، دانشگاه فردوسی مشهد، مشهد

*مشهد، صندوق پستی ۹۱۷۷۵-۱۱۱۱

اطلاعات مقاله

مقاله پژوهشی کامل

دریافت: ۱۷ خرداد ۱۳۹۴

پذیرش: ۲۸ مرداد ۱۳۹۴

ارائه در سایت: ۲۳ شهریور ۱۳۹۴

کلید واژگان:

بالزن

تئوری المان تیغه

نیروی جرم اضافه شده

نیروی چرخشی

سرعت القایی

چکیده

در این پژوهش ابتدا روش های وارد کردن مستقیم و غیر مستقیم اثرات القایی جریان در تئوری المان تیغه برای بدست آوردن نیروی برآ در فاز پروازی ایستا برای بال حشره دروزوفیلا مورد بررسی قرار گرفته است. در ادامه، الگوریتم جدیدی برای اصلاح سرعت القایی بر مبنای تئوری جت رانکین-فروید، ارائه شده است. نتایج روش های پیشین و جدید برای شبیه سازی آبودینامیکی بال این حشره در پرواز ایستا طی حرکات ترکیبی بال زدن و پیچش بال با نتایج تجربی منتشر شده برای این بال مقایسه شده است. نتایج این مقایسه نشان می دهد که یکی از مدل های بر مبنای روش غیر مستقیم به عنوان نزدیکترین روش به نتایج آزمایشگاهی بهترین پیش بینی را دارد. با استفاده از این مدل، حساسیت نیروی برآی لحظه ای و متوسط تولیدی بال مدل شده ای این حشره به شش پارامتر ورودی حرکتی بال سنجیده شده است. این پارامترها شامل فرکانس بال زدن، اختلاف فاز زمانی بین زوایای بال زدن و پیچش بال، حداکثر دامنه زاویه بال زدن و پیچش بال و روند تغییرات زاویه های بال زدن و پیچش بال طی کورس بال زدن می باشند. نتایج نشان می دهد که با افزایش فرکانس و دامنه بال زدن نیروی برآ به نحوی فرازینه افزایش پیدا می کند. همچنین مقداری از اختلاف فاز بین دو زاویه بال زدن و پیچش که منجر به حداکثر نیروی برآ شده معروفی می گردد. همچنین نتایج نشان می دهد که با سینوسی شدن روند تغییرات زاویه بال زدن با زمان، نیروی برآی تولیدی افزایش پیدا می کند.

Investigation of induced velocity and lift sensitivity analysis in blade element theory for simulation of flapping wing in hovering flight

Amir Hossein Zaree, Mohammad Hassan Djavarehkian*

Department of Mechanical Engineering, Ferdowsi University, Mashhad, Iran.
* P.O.B. 91775-1111 Mashhad, Iran, javareshkian@um.ac.ir

ARTICLE INFORMATION

Original Research Paper
Received 07 June 2015
Accepted 19 August 2015
Available Online 14 September 2015

Keywords:
Flapping wing
blade element theory
added mass force
rotational force
induced velocity

ABSTRACT

In the first part of this study the methods of direct and indirect entering the effect of induced velocity in blade element theory to achieve lift force in hover flight of Drosophila flapping insect are investigated. Then a new algorithm for Induced velocity correction based on Rankin-Froude jet theory and direct method is presented. The results of both previous and new methods to aerodynamic simulation of this insect in hovering flight with combined flapping and pitching angles were compared with published experimental results. The results of this comparison indicate one of the models based on the indirect method as the best way to predict the experimental results. In the second part of this work, the sensitivity of the instantaneous and mean force, produced by insect modeled wing, is examined with change in six wing important motion parameters. These parameters include: flapping frequency, phase difference between flapping and pitching angle, flapping and pitching amplitudes and flapping and pitching variations with respect to time in flapping cycle. The results show that with increasing frequency and flapping amplitude lift gradually increases. Also, range of phase difference percentage between flapping and pitching angle that leads to maximum lift of the wings is introduced. Results also show that sinusoidal variation of flapping angle in the cycle has more lifts than rectangular variation.

نمایند. نوع حرکت بال برای پرنده های بالزن بسیار مهم است و تغییر در نوع حرکت بال زدن بر روی نیروها و گشتاورهای تولیدی اثر می گذارد و پرنده را برای انجام مانورهای مختلف آماده می گرداند. در شرایط پروازی مختلف نوع بال زدن متفاوت است؛ برای مثال در شرایط پروازی ایستا^۱ نیاز به تولید

1- hover

با توجه به رشد روزافزون پهپادها و کاربردهای مختلف آنها برای ساخت و بهره برداری، به شبیه سازی های آبودینامیکی پیش از ساخت برای پیش بینی نیروها و گشتاورهای پروازی نیاز است. پرنده ها و حشرات و به طور کلی بالزن ها نیروهای آبودینامیکی خود را از طریق حرکات بال خود تأمین می

Please cite this article using:

A. H. Zaree, M. H. Djavarehkian, Investigation of induced velocity and lift sensitivity analysis in blade element theory for simulation of flapping wing in hovering flight, *Modares Mechanical Engineering*, Vol. 15, No. 10, pp. 212-224, 2015 (In Persian)

برای ارجاع به این مقاله از عبارت ذیل استفاده نمایید:

پسای انتقالی^۴ صحیح در حالت شبه پایا، در حرکات مختلف، وابسته است. این ضرایب در کارهای گذشته هم به صورت تجربی [10] و هم به صورت تئوری [11] وارد روند شبیه سازی شده‌اند. پس از بدست آوردن نیروهای انتقالی، محاسبه‌ی نیروهای ناپایا و اضافه کردن آن بر نیروهای انتقالی، به دقیق‌تر نمودن شبیه سازی کمک می‌کند. دقیق بودن شبیه سازی بر اساس تئوری المان تیغه بستگی زیادی به وارد کردن اثرات ناپایایی حوزه‌ی حل جریان دارد. به طور کلی اگر ضرایب برا و پسای مورد نیاز در این روش به درستی وارد شده و اثرات ناپایایی حوزه‌ی حل نیز به طور دقیق شناخته شده و وارد روند شبیه سازی شوند، می‌توان به یک پیش‌بینی صحیح از نیروهای آیرودینامیکی دست یافت و تئوری المان تیغه برای استفاده در بالزن‌ها بهبود پیدا می‌کند. چگونگی بدست آوردن سرعت القایی^۵ و طرز صحیح وارد کردن آن در روند شبیه سازی هم مورد چالش بوده است. تعدادی از محققین روی نیروهای ناپایا کار نمودند. از جمله، ترانگ و همکاران [10] در سال 2011 با ارائه روشی بر مبنای تئوری المان تیغه به بررسی یک نمونه‌ی بالزن با حرکت ترکیبی پیچش و بال زدن پرداختند. آن‌ها بر اساس ضرایب برا و پسای تجربی به اندازه‌گیری نیروهای انتقالی و شبه پایا اقدام نمودند. در ادامه با اضافه کردن نیروی جرم اضافه شده در حرکت سه بعدی و نیروی چرخشی به پیش‌بینی نیروهای آیرودینامیکی پرداختند. البته آن‌ها برای بدست آوردن سرعت القایی رابطه‌ای ارائه نکرده ولی به استفاده از این سرعت در شبیه سازی خود اشاره نموده‌اند. نبوی و کروزر [11] در سال 2014 با بررسی اثرات القایی ناشی از بال زدن، به ارائه روندی تئوری برای محاسبه‌ی ضرایب برا و پسای انتقالی پرداختند. الینگتون با استفاده از تئوری دیسک محرک رانکین-فروود^۶ و اصلاح آن برای بالزن‌ها به ارائه مدلی برای محاسبه‌ی سرعت القایی در پرواز ایستای یک پرنده پرداخت. او این کار را برای بدست آوردن توان القایی در پرواز ایستا انجام داد [12].

در بخش اول تحقیق جاری در راستای توسعه‌ی روش‌های بر مبنای تئوری المان تیغه در پرواز ایستا، راه‌های وارد کردن غیر مستقیم اثر سرعت القایی روی ضرایب برا و پسای انتقالی بر مبنای روشی با استفاده از تئوری خط برآزای پرانتل (نمونه‌ی کار انجام شده توسط نبوی و کروزر [11]) و همچنین وارد کردن مستقیم سرعت القایی بر سرعت‌های محلی وارد بر بال، مقایسه شده است. در ادامه یک روند جدید برای روش مستقیم و اصلاح سرعت القایی توسط تئوری دیسک محرک به واسطه‌ی یک الگوریتم، توسط کار جاری ارائه گردیده و نتایج آن با دیگر روش‌ها و نتایج تجربی منتشر شده، مقایسه می‌شود. نتایج این مقایسه نشان می‌دهد که یکی از مدل‌های بر

نیروی جلوبرنده نیست و تولید نیروی برا^۷ برابر وزن پرنده مورد نیاز است. مسلماً نوع بالزن در این شرایط با پرواز رو به جلو^۸ که به نیروی پیشرانش^۹ و نیروی برا به طور همزمان نیاز دارد، تفاوت خواهد داشت. روند انجام شبیه سازی های آیرودینامیکی برای پرنده های بال زن در سال‌های گذشته دو هدف عمدۀ را دنبال نموده است. نخست دستیابی به یک مدل‌سازی با دقت مناسب و دوم رسیدن به یک شبیه سازی کم هزینه. روش‌های زیادی مانند روش تئوری پتانسیل [1]، روش شبکه گردابه [2]، روش شبکه بولتزمن [3]، تئوری المان تیغه و دینامیک سیالات محاسباتی در شبیه سازی بالزن‌ها مورد استفاده قرار گرفته است. یکی از روش‌هایی که در صورت برقراری صحیح شرایط ورودی می‌تواند به دقت مناسبی بی انجامد، مدل‌سازی بر مبنای دینامیک سیالات محاسباتی است. این روش می‌تواند اطلاعات مناسبی از حوزه‌ی حل جریان در اختیار قرار دهد؛ اما استفاده از آن مستلزم هزینه‌ی محاسباتی بالایی بوده و بهینه‌سازی را مخصوصاً در حالات‌های سه بعدی دشوار می‌نماید. لذا بیشتر استفاده از روش فوق در کارهای گذشته بر مبنای شبیه‌سازی‌های دو بعدی بوده است. به عنوان نمونه تانسر و کایا [4] بر اساس این روش به مدل‌سازی ایرفویل‌های نوسانی در دو حرکت ترکیبی فراز و فرود و پیچش بال پرداختند. رامامورتی و همکاران [5] نیز با استفاده از این روش و المان محدود به شبیه سازی بال حشره میوه پرداختند. پژوهش لیو و همکاران [6] هم در مطالعه‌ی بال نوعی حشره در پرواز ایستا نمونه‌ای از فعالیت‌های سه بعدی است.

روش تئوری المان تیغه، روش پایه شبه پایایی است که برای پیش‌بینی نیروهای وارد بر یک بالزن پیشنهاد شده است. استفاده از این روش در حرکت ناپایا مستلزم ادراک اثرات ناپایایی جریان حول بالزن و بهبود این روش با وارد کردن این اثرات است. از طرفی بدست آوردن نیروهای شبه پایا نیز در این روش برای بالزن‌ها، نیازمند بدست آوردن دقیق اثرات ناشی از القای جریان و سرعت القایی است. هزینه‌ی محاسباتی این روش بسیار پایین است و در صورت رسیدن به دقت مناسبی از شبیه سازی به روشی ایده آل تبدیل می‌شود. برای استفاده‌ی دقیق از این روش باید اثرات ناپایایی حوزه‌ی حل جریان مانند نیروی اعمالی از گردابه‌های جداسده بر بال، و نیروی جرم اضافه شده ناشی از حرکت شتابدار بال، شناخته شود و به صورت مجزا وارد روند شبیه سازی گردد. این امر نگرشی مناسب از پرواز بالزن را در اختیار قرار می‌دهد. واکر و همکاران [7]، سان و همکاران [8] و خان و همکاران [9] بر مبنای این دسته از روش‌ها به بررسی نیروهای بالزن پرداختند. بدست آوردن دقیق نیروهای وارد بر بالزن، به برخورداری از ضرایب برا و

جدول 1 مقایسه کلیت استفاده از تئوری المان تیغه در کارهای گذشته و کارجاری

Table1 Compare between method of using of blade element theory in present work and past works

توضیحات	ورود اثرات القایی	کارجاری	ترانگ [10]	نبوی [11]	استفاده از ضرایب نیروی ورودی تجربی
در کار ترانگ اشاره به چگونگی وارد کردن اثرات القایی نشده است	-	مستقیم	✓	✗	استفاده از ضرایب نیروی تحلیلی(بر مبنای دو روش)
کار جاری الگوریتمی برای ترکیب تئوری المان تیغه با تئوری جت رانکین-فروود	مستقیم	✓	✓	✗	استفاده از ضرایب نیروی تجربی و تئوری جت رانکین-فروود

4- Translational lift and drag coefficient
5- Induced velocity
6- Rankin-Froude Actuator disk theory

1- lift
2- Forward flight
3- thrust

برای توصیف حرکت بال زدن یک دستگاه مختصات متعامد $Oxyz$ تعریف شده است. مبدأ 0 در ریشه‌ی بال قرار گرفته است، محور Z محور بال زدن و صفحه‌ی xy صفحه‌ی کورس بالزن است. ξ محور بال بوده و این محور نسبت به صفحه‌ی کورس بال زدن انحرافی ندارد و در صفحه‌ی xy به حرکت در می‌آید و موقعیت آن توسط زاویه‌ی ψ نسبت به محور X مشخص می‌گردد. حرکت اشاره شده بیانگر حرکت بال زدن است. علاوه بر حرکت فوق بال می‌تواند حول محور بال نیز بچرخد [10].

برای راحتی در محاسبه‌ی نیروهای تولیدی توسط بالزن دستگاه مختصات محلی $\xi\eta\zeta$ تعریف شده است. همانطور که اشاره شد ξ محور بال، η محور مماس بر حرکت بالزنی و ζ عمود بر صفحه‌ی کورس بالزن است. شکل 2 مقطع بالی با طول وتر(r) و پهنه‌ی dr را نشان می‌دهد. همانطور که در این شکل دیده می‌شود در صفحه‌ی $\eta\zeta$ ، وضعیت مقطع بال توسط زاویه‌ی θ_r که به عنوان زاویه‌ی بین جهت مثبت محور η و وتر مقطع بال است، نشان داده می‌شود. V_T سرعت انتقالی ناشی از حرکت بال زدن بوده که در شکل 2 به سمت بال وارد شده است و V_i سرعت انتقالی است. برآیند این دو سرعت تشکیل‌دهنده‌ی سرعت وارد بر مقطع بال یا \bar{V} بوده که در شکل 2 نشان داده شده است. زاویه حمله α نیز زاویه‌ی بین وتر مقطع بال و سرعت V بوده و θ زاویه‌ی بین وتر مقطع بال و سرعت انتقالی V_T است. زاویه φ نیز برابر با $\theta - \alpha$ است. نیروهای برآ و پسای وارد بر مقطع به ترتیب با dL و dD نشان داده شده‌اند. با تجزیه‌ی dL و dD در راستای محورهای η و ζ و جمع برداری آنها نیروهای \vec{dF}_η و \vec{dF}_ζ بدست می‌آیند.

در هر مقطع بال نیروهای برآ و پسای وارد بر آن مقطع محاسبه شده و سپس در تمام طول بال جمع شده و نیروهای برآ و پسای کلی بال بدست آورده می‌شوند [10]. این نیروها توسط روابط (1) و (2) محاسبه می‌شوند:

$$dL = \frac{1}{2} \rho V^2 C_l dS \quad (1)$$

$$dD = \frac{1}{2} \rho V^2 C_d dS \quad (2)$$

که ρ چگالی سیال دربرگیرنده‌ی بال، V سرعت اعمالی بر مقطع بال، C_l و C_d به ترتیب ضرایب برآ و پسای انتقالی و dS مساحت مقطع بال است. با نگاهی دوباره به شکل 2 نیروهای انتقالی را در راستای محورهای η و ζ که به ترتیب راستهای نیروی محوری و برآی کلی بوده، به فرم روابط (3) و (4) تجزیه می-

$$dF_\eta = dL \sin \varphi + dD \cos \varphi \quad (3)$$

$$dF_\zeta = -dL \cos \varphi + dD \sin \varphi \quad (4)$$

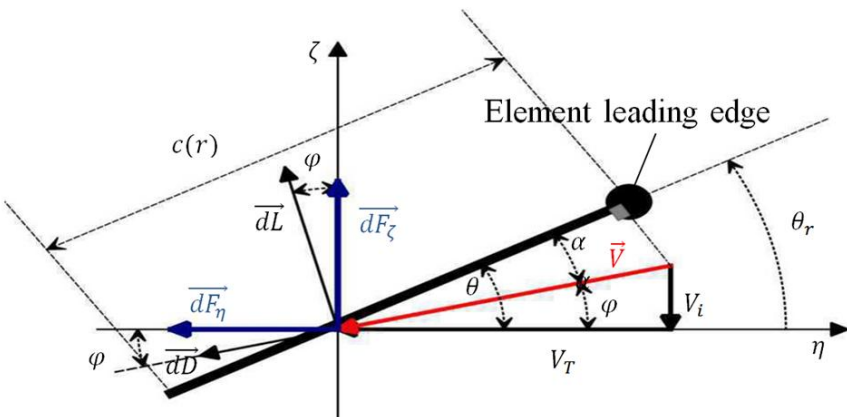


Fig.2 schematic of blade element and parameter definitions [10]

شکل 2 نمایی از یک مقطع المان تیغه و تعریف پارامترها [10]

- 2- Flapping axis
- 3- Stroke plane
- 4- Feather axis
- 5- Chord

مبناًی روش غیر مستقیم به عنوان نزدیک‌ترین روش به نتایج آزمایشگاهی بهترین پیش‌بینی را دارد. جدول 1 مقایسه‌ای بین کارهای انجام شده در این بخش از کار جاری در بررسی دو مدل‌سازی شاخص انجام شده از سال 2011 توسط ترانگ و همکاران [10] تا سال 2014 توسط نبوی و کروزر [11] و روند جدید معرفی شده را نشان می‌دهد.

در بخش دوم و اصلی تحقیق جاری پارامترهای حرکتی تأثیرگذار بر روی نیروی برآی مورد بررسی و حساسیت سنجی قرار گرفته است. همانطور که اشاره شد شیوه‌ی بال زدن ارتباط مستقیمی با تولید نیروهای آیروдинامیکی دارد. پرواز ایستا یکی از فازهای مرسوم پرواز حشرات بوده که حرکت ترکیبی بال زدن و پیچش بال را برای تولید نیروی لازم در این فاز اعمال می‌شود [13]. بررسی پارامترهای تأثیرگذار بر هر کدام از این حرکات و ترکیب آن‌ها نقش عمده‌ای در تولید نیروها و روند تغییرات نیرو در طول سیکل بال زدن دارند و لذا در کار جاری پارامترهای فرکانس بال زدن، حداکثر دامنه‌ی بال زدن، حداکثر دامنه‌ی پیچش بال، اختلاف فاز زمانی بین زاویه‌ی بال زدن و زاویه‌ی پیچش بال، روند تغییرات زاویه‌ی بال زدن با زمان و روند تغییرات زاویه‌ی پیچش بال با زمان مورد بررسی قرار گرفته است. این حساسیت سنجی برای نمونه مقیاس بال یک حشره‌ی دروزوفیلا در فاز پروازی ایستا انجام گرفته و نتایج برای نیروی برآی تولیدی لحظه‌ای و متوسط معرفی شده است.

2- تئوری المان تیغه

روش تئوری المان تیغه با تقسیم کردن پلان سه بعدی بال به تعداد کافی از المان‌ها، هر کدام از این المان‌ها را به طور مجزا مورد بررسی قرار می‌دهد. سرعت‌های محلی وارد بر هر المان بدست آمده و نیروی انتقالی بدست می‌آید و در نهایت نیروهای ناپایای وارد بر المان محاسبه شده و اضافه می‌گردد. نهایتاً با انتگرال‌گیری از نیروهای بدست آمده بر هر کدام از المان‌ها در طول دهانه‌ی بال و همچنین در طول کل زمان دوره‌ی سیکل بال زدن، نیروهای تولیدی توسط بالزن محاسبه می‌شوند. در این بخش استفاده از تئوری المان تیغه برای یک بالزن با حرکت ترکیبی بال زدن و پیچش بال شرح داده شد.

شکل 1 بالزنی به طول بال R را نشان می‌دهد [10]. برای برقراری روش همانطور که اشاره شد بال به تعداد زیادی المان با پهنه‌ی dr تقسیم می‌شود. مقطع یک المان مشخص از بال در فاصله‌ی r نسبت به ریشه‌ی بال قرار گرفته است و در شکل 1 به صورت یک نوار مشکی رنگ نشان داده شده است.

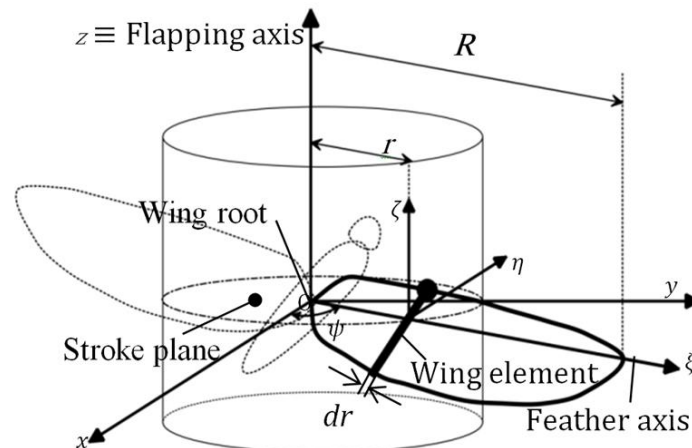


Fig.1 Definitions about wing element and its movement [10]

شکل 1 تعاریف مرتبط بال و مقطع و حرکت آن [10]

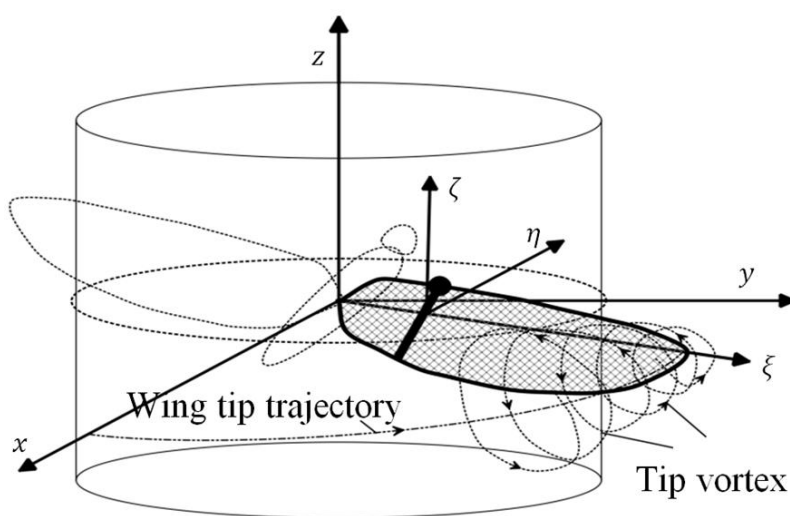


Fig.3 tip vortex generation due to wing translational move
شکل 3 تولید گردابهای نوک بال به دلیل حرکت انتقالی بال

این شکل مشاهده می‌شود به دلیل اختلاف فشار پایین و بالای بال و عموماً در قسمت نوک بال گردابهای طی حرکت بال ایجاد می‌شوند که این گردابهای تمایل به پخش شدن در سیال را خواهند داشت و در نهایت باعث ایجاد جریانی جانبی خواهند شد. در این حالت خاص از سیکل بال زدن که در این شکل نشان داده شده است، جریانی به سمت پایین القا خواهد شد. برای بدست آوردن سرعت القایی در شرایط پروازی ایستا از تئوری دیسک محرک استفاده می‌شود. این تئوری رابطه‌ای به شکل فرمول (9) را ارائه می‌دهد [12]:

$$V_i = \sqrt{\frac{Mg}{2\rho S_d}} \quad (9)$$

که M جرم پرنده بوده، ρ شتاب گرانش و S_d سطح موثر دیسک بالزن است. سطح موثر دیسک، سطح جاروب شده توسط بال طی کورس بال زدن بوده و سرعت القایی عمود بر آن وارد می‌شود.

2-2-1- بدست آوردن ضرایب برآ و پسای انتقالی

2-2-2- ضرایب برآ و پسای انتقالی تجربی

حرکت بال زدن باعث به تأخیر افتادن و امدادگی شده و بال در زوایای حمله-ی بالاتری نسبت به حالت پایا دارای توانایی تولید برآ است. حال برای استفاده از فرمول‌های برآ و پسای انتقالی شبه پایای (1) و (2)، باید راهی برای پیش‌بینی این ضرایب پیشنهاد شود. بدین منظور دیکینسون و همکاران [13] روشی پیشنهاد نمودند که در آن بال مورد نظر را بر روی بستر آزمایشی به صورت یک منحنی نیم دایره 180 درجه‌ای در یک زاویه‌ی حمله معین قرار می‌دهد و سپس با حرکت دادن بال با سرعت ثابت بر روی منحنی به طوری که زاویه‌ی حمله‌ی آن ثابت بماند، منحنی تغییرات ضرایب برآ و پسای را همانطور که در شکل 4 نشان داده شده است بدست می‌آورد. سپس برای از بین بردن اثرات شتاب شروع و پایان حرکت بال روی بازه‌ی زمانی مشخصی بین شروع و پایان که در شکل 4 با خط چین نمایش داده شده است متوجه گیری شده و در نهایت داده‌های ضرایب برآ و پسای در نموداری مانند شکل 5 بر حسب زاویه‌ی حمله رسم شده و تابعی بر آنها برآش می‌گردد.

2-2-2- ضرایب برآ و پسای انتقالی تحلیلی

علاوه بر روش تجربی که در بخش قبل توسط دیکینسون و همکاران [13] مورد پیشنهاد قرار گرفت، روش‌های دیگری نیز بر اساس اصول تئوری آیرودینامیکی برای محاسبه‌ی تغییرات ضرایب برآ و پسای با زاویه‌ی حمله،

با انتگرال‌گیری از معادلات (3) و (4) در راستای دهانه‌ی بال نیروی‌های برآ و پسای انتقالی در یک زمان مشخص محاسبه می‌شوند. همانطور که در شکل 2 نشان داده شده است سرعت واردہ بر مقطع المان بال ۷ ناشی از دو سرعت انتقالی و سرعت القایی بوده که با توجه به شکل 2 توسط فرمول (5) محاسبه می‌شود:

$$V = \sqrt{V_i^2 + V_T^2} \quad (5)$$

که V_T سرعت انتقالی و V_i سرعت القایی است. نهایتاً زاویه‌ی φ که بیانگر زاویه‌ی بین محور η و راستای V است توسط رابطه‌ی (6) محاسبه می‌شود:

$$\varphi = \tan^{-1}\left(\frac{V_i}{V_T}\right) \quad (6)$$

زاویه حمله بال نیز با توجه به زاویه‌ی پیچش بال r زاویه α طبق رابطه‌ی (7) بدست می‌آید:

$$\alpha = \theta_r - \varphi \quad (7)$$

زاویه‌ی θ_r به صورت تابعی متغیر با زمان وارد روند شبیه سازی شده و جزو ورودی‌های مسئله است. اما برای بدست آوردن زاویه‌ی φ نیاز به معلوم بودن مؤلفه‌های القایی و انتقالی سرعت است. در بخش‌های بعدی روند بدست آوردن این دو مؤلفه‌ی سرعت مورد بررسی قرار می‌گیرد.

برای بدست آوردن تغییرات ضرایب برآ و پسای انتقالی با تغییرات زاویه‌ی حمله نیز راههایی وجود دارد که در ادامه به صورت یک بخش مجزا مورد بررسی قرار می‌گیرد.

2-1-2- بدست آوردن سرعت‌ها

2-1-2- سرعت انتقالی

سرعت انتقالی مؤلفه‌ای از سرعت است که به واسطه‌ی حرکت بال زدن تولید شده و توسط رابطه‌ی (8) محاسبه می‌گردد که در این رابطه که ۲ فاصله‌ی مقطع بال از ریشه‌ی بال بوده و ψ مشتق اول زاویه‌ی بال زدن نسبت به زمان است.

$$V_T = -r\dot{\psi} \quad (8)$$

2-2- سرعت القایی

مؤلفه‌های القایی ناشی از اثرات سه بعدی بال و بال زدن در پژوهش‌های پیشین به دو شکل مستقیم و غیر مستقیم وارد روند شبیه سازی تئوری المان تیغه شده است. شکل مستقیم به گونه‌ای است که با استفاده از تئوری دیسک محرک، رابطه‌ای برای سرعت القایی بدست آمده و این سرعت القایی با سرعت انتقالی به صورت برداری جمع شده و سرعت کلی را تشکیل می‌دهند. شکل دوم و غیر مستقیم به گونه‌ای است که با استفاده از تئوری دیسک محرک رابطه‌ای برای توان واقعی و توان ایده آل بدست آمده و نسبت این دو توان به عنوان فاکتور توان القایی معرفی شده و در رابطه‌ای بر اساس تئوری خط برآزای پرانتل برای ضریب برآ جاسازی می‌گردد و نهایتاً در رابطه‌ی بدست آمده برای تغییرات ضرایب برآ و پسای با زاویه‌ی حمله خود را نشان می‌دهد. این رابطه برای ضریب برآ و ضریب پسای وارد محاسبه‌ی نیروی انتقالی می‌گردد که در ادامه به طور مفصل به آن پرداخته می‌شود.

شکل 2 حالتی از کورس بال زدن را نشان می‌دهد که بال به سمت راست در حال حرکت است و به این دلیل قسمت زیرین بال پر فشار بوده و قسمت بالایی بال کم فشار؛ لذا سرعت القایی ناشی از اختلاف فشار بالا و پایین بال و اثرات سه بعدی آن به سمت پایین است. شکل 3 به منظور بررسی ابتدایی فیزیک تولید سرعت القایی در پرواز ایستا آورده شده است. همانطور که در

می‌گیرد و در مورد تأثیر نسبت پیشرفت^۱ و تأثیر توزیع طول وتر بال در دهانه‌ی بال و فاصله‌ی ریشه‌ی بال از مبدأ چرخش بال نیز در پژوهش نبوی و همکاران بحث شده است [17]. آنها این پارامتر را برای حالت پرواز ایستا در هشت حشره بدست آوردند که تغییراتی بین ۱.۱۴ تا ۱.۲۴ برای این ضریب محاسبه شد. همچنین پارامتر k_{tip} توسط الینگتون [18] به صورت روابط (13) و (14) بدست می‌آید:

$$k_{tip} = 1 + 0.79s^2 \quad (13)$$

$$s^2 = \frac{2\pi W}{\rho n^2 f (\gamma R)^2} \quad (14)$$

که W وزن حشره است. γ نیز زاویه‌ی جاروب کردن بال طی زاویه‌ی بال زدن است. همچنین n فرکانس ضریب برآی لحظه‌ای در طول یک سیکل بال زدن بوده که در پرواز ایستا برابر با ۲ در نظر گرفته می‌شود [17].

پارامتر k_{flap} نیز توسط رابطه‌ی (15) محاسبه می‌شود [17]:

$$k_{flap} = \sqrt{\frac{\pi}{\gamma}} \quad (15)$$

دیگر روش تحلیلی برای بدست آوردن ضریب برآی انتقالی یک بالزن در پرواز ایستا، استفاده از مدل آنانلوژی مکش لبه‌ی حمله ارائه شده توسط پالهمز است [19]. این مدل به شکل رابطه‌ی (16) و (17) ارائه شده است [11]:

$$C_L(\alpha) = \left(\frac{C_{L\alpha}}{2} \sin 2\alpha \right) \left(\cos \alpha + \left(1 - \frac{k C_{L\alpha}}{\pi A R} \right) \sin \alpha \right) \quad (16)$$

$$C_{L\alpha} = \frac{C_{L\alpha,2d}}{E + k C_{L\alpha,2d} / (\pi A R)} \quad (17)$$

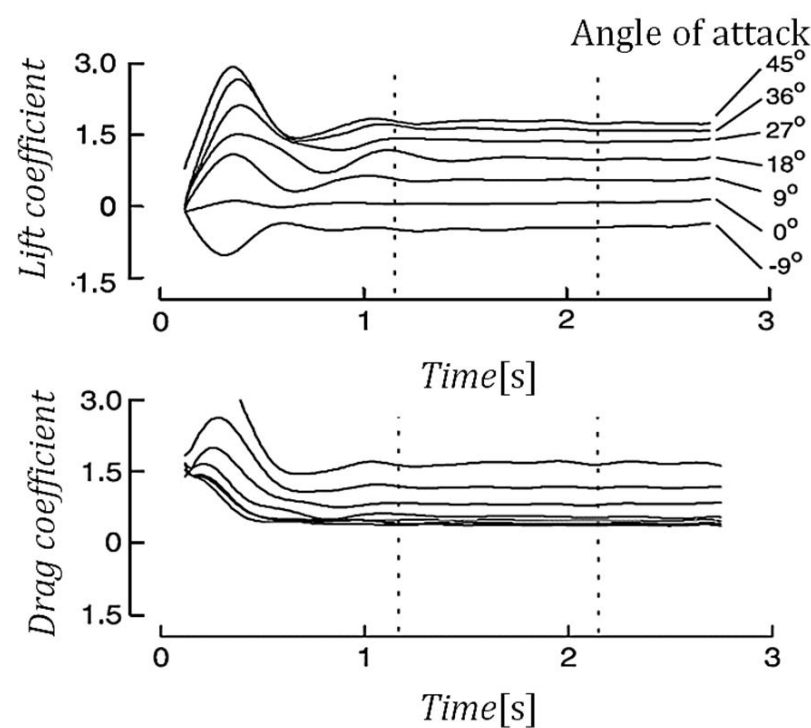
باید توجه داشت که برآکت اول در عبارت فوق دقیقاً برابر با عبارت معادله‌ی (10) است. عبارت برآکت دوم در فرمول (16)، جمله‌ای اضافی نسبت به عبارت معادله‌ی (10) بوده که توسط نبوی [11] به نام $k_{polhamus}$ نام‌گذاری گردید. پالهمز در پژوهش خود برای نسبت‌های منظری حداقل تا ۱.۵ تطابق خوبی را با نتایج تجربی در مدل‌های بال دلتای خود بدست آورد و پس از این محدوده نیروی‌های پیش‌بینی‌شده توسط او از نتایج تجربی فراتر می‌رفتند و این اختلاف با افزایش نسبت منظری بزرگ‌تر می‌گردید [11]. این موضوع در قسمت نتایج مورد بررسی قرار می‌گیرد.

2-3- نیروی جرم اضافه شده

نیروی جرم اضافه شده یکی از اثرات ناپایایی حوزه‌ی حل جریان حول بالزن است. شناختن این نیرو و بدست آوردن مقدار آن باعث بهبود روش‌های شبه پایا در بالزن‌ها مانند تئوری المان تیغه شده و نتایج را بهبود می‌بخشد. به طور کلی نیروی جرم اضافه شده نیروی ناشی از حرکت شتابدار بال و عکس‌عمل ذرات احاطه کننده به بال است. مطابق شکل 6 مقطع بالی به ضخامت dr و در فاصله r نسبت به ریشه‌ی بال روی محور بال را در نظر می‌گیریم. فرض می‌شود که سیال احاطه کننده تأثیرگذار بر روی بال به اندازه‌ی یک دیسک به قطر وتر مقطع بال $c(r)$ و ضخامت dr باشد. لذا اندازه‌ی جرم دیسک برابر $\frac{\pi}{4} \rho c(r)^2 dr$ بوده و در صورتیکه شتاب بال برابر a_n باشد، نیروی جرم اضافه شده از رابطه‌ی (18) بدست می‌آید:

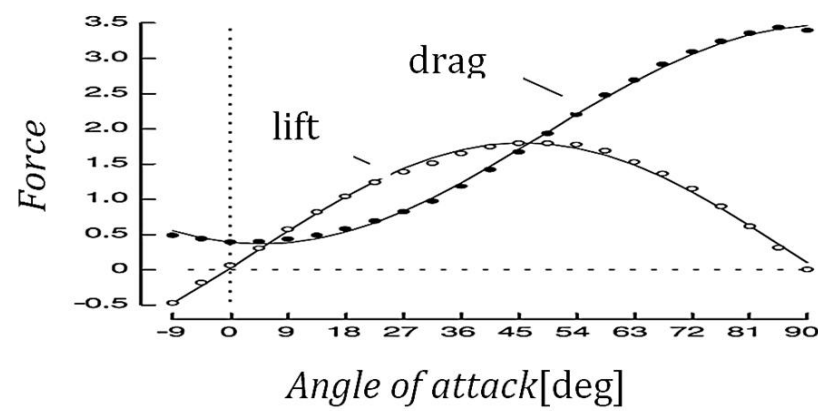
$$dF_A = -\frac{\pi}{4} \rho c(r)^2 a_n dr \quad (18)$$

همانطور که اشاره شد a_n شتاب نقطه‌ی مرتع روی مقطع بال است که توسط فرمول (19) محاسبه می‌گردد [10]:



شکل ۴ نتایج خوانده شده برای ضرایب برآ و پسای انتقالی [13]

شکل ۴ نتایج خوانده شده برای ضرایب برآ و پسای انتقالی [13]



شکل ۵ گذراندن منحنی بر ضریب نیروی متوسط در زوایای حمله مختلف [13]

توسط محققان مورد استفاده قرار گرفته است. نبوی و کروزه [11] بر مبنای تئوری خط برآزای پرانتل^۱ به ارائه مدلی برای محاسبه تغییرات ضرایب برآ و پسای انتقالی با زاویه‌ی حمله در بال زن‌ها پرداختند. این مدل توسط رابطه‌های (10) و (11) نشان داده می‌شود. رابطه (10) برای اغلب حشرات که نسبت منظری بالای ۳ دارند مناسب است [14].

$$C_L(\alpha) = \left(\frac{0.5 C_{L\alpha,2d}}{E + k C_{L\alpha,2d} / (\pi A R)} \right) \sin 2\alpha \quad (10)$$

$$C_D(\alpha) = C_L(\alpha) \tan \alpha \quad (11)$$

در رابطه (10) $C_{L\alpha,2d}$ شبیه نمودار ضریب برآی دو بعدی بال یا ایرفویل است. پارامتر E برابر با نسبت محیط پلان بال به طول بال بوده [16,15] و $A R$ هم که نسبت منظری است بر مبنای طول یک بال تنها بدست می‌آید. این امر به دلیل بررسی یک بال و محاسبه برآی آن تک بال است. پارامتر k نیز در معادله (10) برای اعمال تأثیر تغییرات واقعی فرونوش نسبت به تغییرات ایده‌آل آن اضافه شده است. ضریب k یا فاکتور توان القایی برآ بر با نسبت توان القایی به توان ایده‌آل است. نبوی و همکاران [17] k را به صورت ضرب چند پارامتر معرفی نمودند:

$$k = k_{ind} k_{tip} k_{flap} \quad (12)$$

در معادله (12) پارامتر k_{ind} اثرات غیر یکنواختی توزیع فرونوش را در بر

که در رابطه‌ی فوق C_{rot} ضریب نیروی چرخشی بوده و توسط رابطه‌ی (23) بدست می‌آید [8]:

$$C_{\text{rot}} = \pi (0.75 - x_f/c) \quad (23)$$

3- نتایج

بر مبنای تئوری فوق نرمافزاری بر اساس زبان فورترن توسعه داده شده و تاثیر مدل‌های مختلف و پارامترهای ناپایایی نیز بررسی شده است. فلوچارت روند کلی نرمافزار در شکل 8 نشان داده شده است. اصلاح سرعت القایی بر مبنای این الگوریتم انجام گرفته است. ابتدا هندسه و مشخصات پلان بال توسط نرمافزار خوانده شده و با توجه به تعداد المان‌های تعریف شده، تقسیم‌بندی بر روی بال انجام می‌پذیرد و سپس زوایای حرکتی و مشتقات آنها وارد می‌شود. در ادامه سرعت القایی اولیه حدس زده شده و حل وارد سه حلقه‌ی اصلاح سرعت القایی، تغییر زمان و تغییر المان روی بال، شده است. درون حلقه‌ها سرعت کلی و زاویه‌ی حمله و به تبع آن ضرایب برآ و پسا بر اساس روش‌های مختلف اشاره شده در قسمت‌های قبلی محاسبه شده و نیروی انتقالی بدست محاسبه گردید. باید اشاره شود که در صورت وارد کردن ضرایب نیروی انتقالی صرفاً به صورت تحلیلی، حل وارد حلقه‌ی اصلاح نمی‌شود. در ادامه اثرات ناپایایی نیروی جرم اضافه شده و نیروی چرخشی به نیروی انتقالی اضافه شده و انتگرال‌گیری روی المان‌های بال و روی زمان انجام گرفت. در ادامه سرعت القایی جدید در صورت وارد کردن مستقیم سرعت القایی در روند حل محاسبه می‌شود. سرعت القایی بدست آمده با سرعت القایی پیشین مقایسه شده و اگر اختلاف آنها کمتر از مقدار کوچکی باشد، نیروی کلی بدست آمده گزارش می‌گردد. اگر اختلاف زیاد بود حل به ابتدای حلقه زمانی برگشت نموده و مراحل قبلی تکرار می‌شود.

3-1- اعتبار سنجی

برای اعتبار سنجی ابتدا یک بال حشره خاص دروزوفیلا که نتایج تجربی [13] آن در ترکیب حرکات بالزن و پیچش موجود است، برای اعتبار سنجی نتایج انتخاب می‌شود. حرکت بال متشکل از دو حرکت انتقالی و پیچشی بال است که به ترتیب با ψ و θ_r نشان داده می‌شوند. حرکت مورد بررسی در کار جاری ترکیب دو حرکت فوق بوده و در شکل 9 نشان داده شده است. زوایای اشاره شده با انتگرال‌گیری از سرعت‌های انتقالی و پیچشی اشاره شده در مرجع [13] توسط ترانگ و همکاران [10] بدست آمدند. لزجت سیال، طول بال و فرکانس بال زدن طوری در نظر گرفته شده‌اند که رینولدز بال زدن حشره دروزوفیلا که برابر 136 است برقرار شود. بال به طول 25 سانتی متر از جنس پلکسی گلس و با ضخامت 3.2 میلی‌متر از روی پلان بال حشره دروزوفیلا است و با فرکانس 0.145 و زاویه‌ی کورس کامل بال زدن 160 درجه مورد آزمایش قرار گرفته است. مساحت بال برابر با 0.0167 مترمربع است. محور بال که در قسمت قبلی تعریف شد در موقعیت 20 درصد متوسط طول وتر بال از لبه‌ی حمله تعریف شده است [10]. شکل 10 شماتیک این بال و المان‌های روی آن را نشان می‌دهد. البته تعداد المان‌های نشان داده شده روی بال در شکل فقط برای نشان دادن نمای المان‌ها آورده شده است.

3-1-1- انتخاب ضریب برآ و پسای انتقالی

در پژوهش‌های پیشین روش‌های مختلفی برای بدست آوردن ضرایب برآ و پسای انتقالی برای تغذیه‌ی تئوری المان‌های تیغه در بدست آوردن نیروی انتقالی، انجام شده است. این تفاوت‌ها با عنوان مدل در کار جاری نام‌گذاری

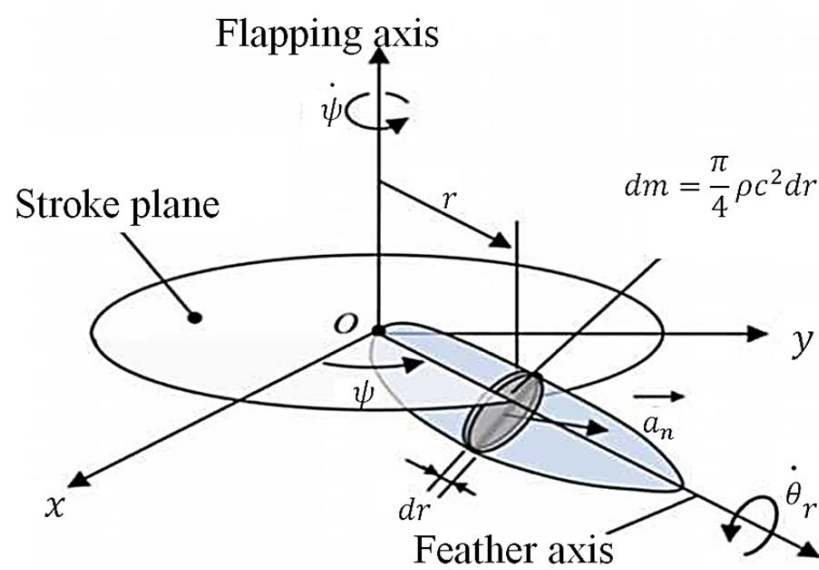


Fig.6 virtual mass about wing (added mass)[10]

شکل 6 جرم مجازی حول بال (جمله اضافه شده) [10]

$$a_n = x_m \ddot{\theta}_r + r \dot{\psi} \sin \theta_r + x_m \psi^2 \cos \theta_r \quad (19)$$

که در فرمول فوق $\dot{\theta}_r$ مشتق دوم زاویه‌ی θ_r بوده و $\dot{\psi}$ مشتق دوم زاویه‌ی ψ است. x_m هم توسط رابطه‌ی (20) بدست می‌آید [10]:

$$x_m = x_r - x_f \quad (20)$$

که فاصله‌ی بین نقطه‌ی مرجع و محور چرخش بال با لبه‌ی حمله بال به ترتیب با x_r و x_f نشان داده شده است. فاصله‌ی بین نقطه‌ی مرجع تا لبه‌ی حمله یا فرار برابر با نصف طول وتر هر المان در نظر گرفته می‌شود [10].

2- نیروی چرخشی

نیروی چرخشی یکی دیگر از اثرات ناپایایی حوزه‌ی حل سیال دربرگیرنده‌ی بالزن است. این نیرو به دلیل حرکت چرخشی بال و تولید گردابه‌های ناشی از چرخش و القای نیرویی از طرف این گردابه‌ها به بال ایجاد می‌شود. مقطوعی از بال که حول محور بال و با سرعت چرخشی $\dot{\theta}_r$ می‌چرخد و با سرعت انتقالی V_T حرکت می‌کند، در شکل 7 نشان داده شده است [10]. سان و همکاران [8] به این نتیجه رسیدند که در نبود اصطکاک پوسته‌ای، نیروی چرخشی dF_{rot} به صورت عمود بر مقطع بال اعمال می‌شود که در این شکل مشخص است. مقدار نیروی چرخشی اعمالی بر مقطع بال توسط رابطه‌ی (21) محاسبه می‌گردد:

$$dF_{\text{rot}} = \rho V_T d\Gamma_{\text{rot}} \quad (21)$$

$d\Gamma_{\text{rot}}$ گردش چرخشی مقطع بال بوده و توسط رابطه‌ی (22) محاسبه می‌شود [10]:

$$d\Gamma_{\text{rot}} = C_{\text{rot}} \dot{\theta}_r c^2 dr \quad (22)$$

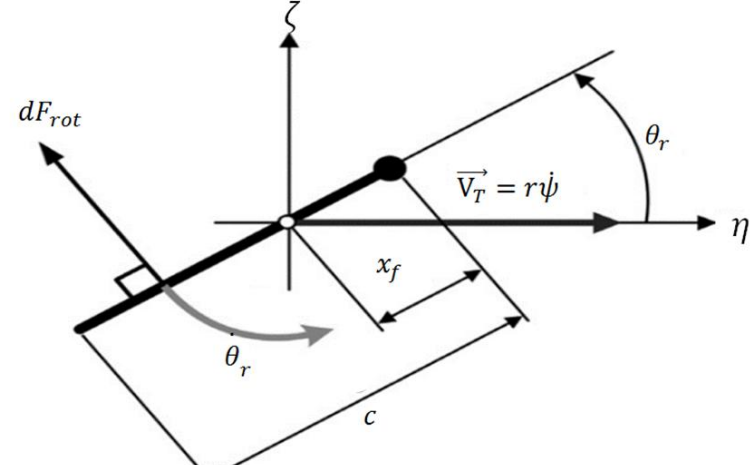
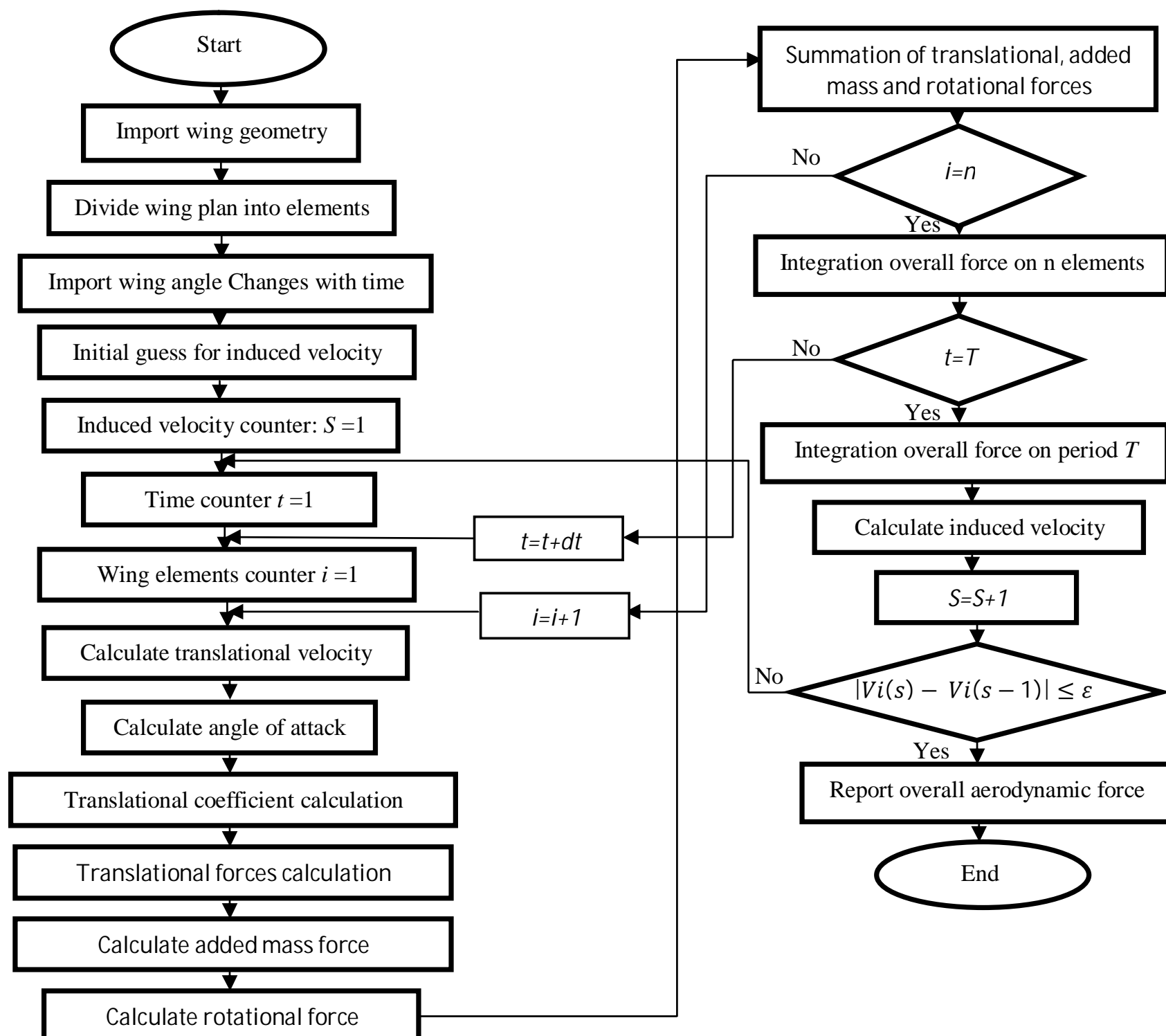
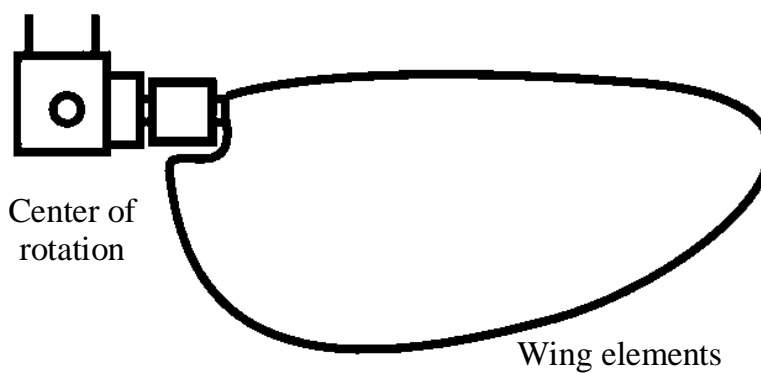


Fig.7 rotational force acting on wing element[10]

شکل 7 نیروی چرخشی اعمالی بر مقطع بال [10]

**Fig.8** flowchart of present work program

شکل 8 فلوچارت برنامه تدوین شده

**Fig.10** plan of wing for validation [13]

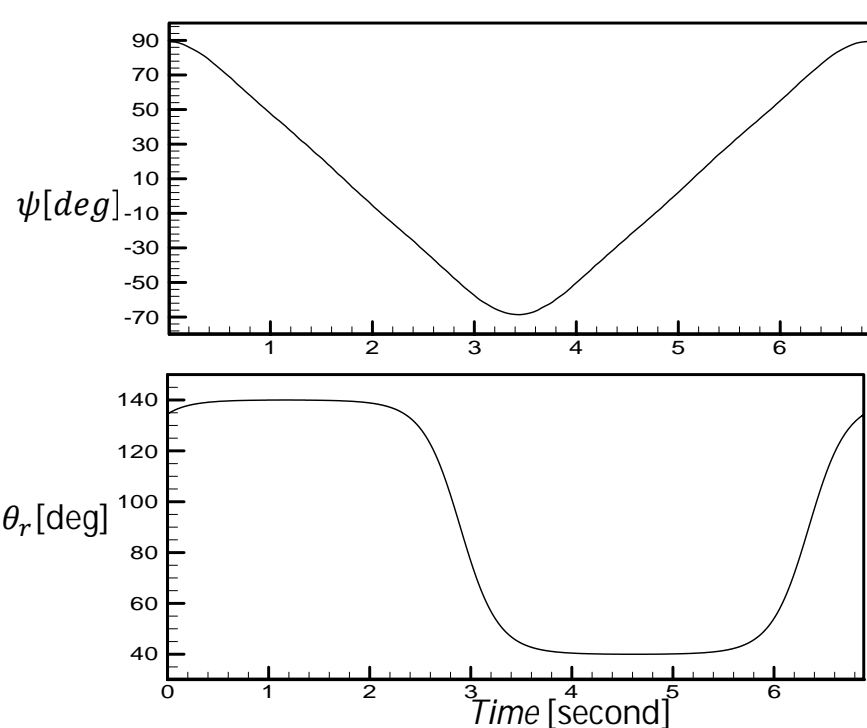
شکل 10 پلان بال مورد اعتبار سنگی [13]

شده و اختلافات این مدل در نیروی برآی بدست آمده مورد بررسی و مقایسه قرار می‌گیرد. ضرایب نیروی برآ و پسای بدست آمده مطابق ایدهی دیکینسون و همکاران [13] در بخش 1-2-2 در [13] به شکل زیر است:

$$C_L = 0.225 + 1.58 \sin(2.13\alpha - 7.2) \quad (24)$$

$$C_D = 1.92 - 1.55 \cos(2.04\alpha - 9.82) \quad (25)$$

در فرمول‌های فوق زاویه حمله α بر حسب درجه است. استفاده از این فرمول در کار جاری با عنوان مدل 1 نام‌گذاری شده و در ادامه ضرایب برآ و پسای بدست آمده توسط این مدل و نیز نیروی برآی کلی با استفاده از این مدل

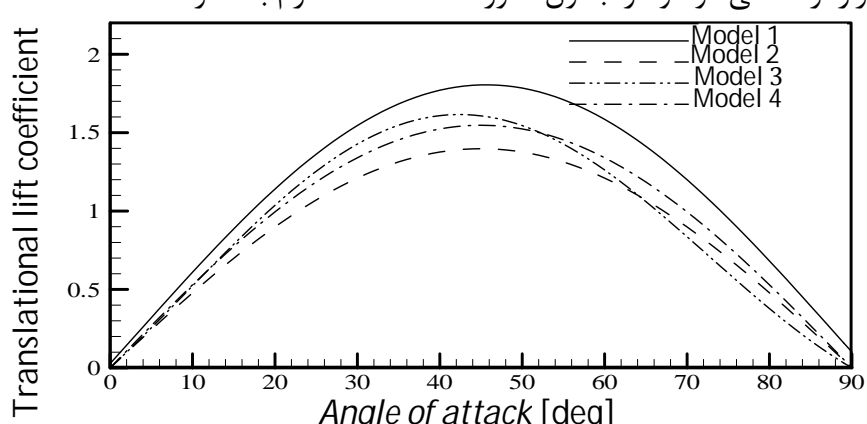
**Fig.9** flapping and pitching angle in one period

شکل 9 زوایای بالزن و پیچش بال در یک دوره

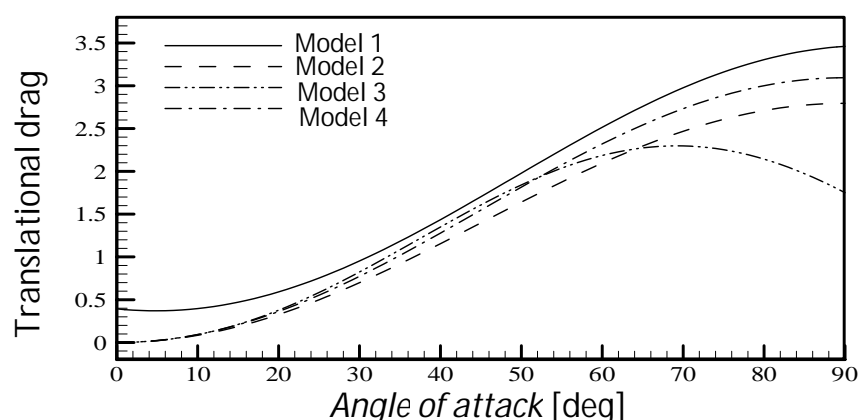
Table2 developed model to investigation on translational lift and drag coefficient in present work

ضریب برآ	ضریب پسا	شماره مدل	رابطه
(24)	(25)	1	مدل 1
(10)	(11)	2	مدل 2
(16)	(11)	3	مدل 3
$k=1$	(11)	4	مدل 4

پس از اعمال ضرایب فوق و اجرای نرمافزار طبق فلوچارت شکل 8، نتایج نیروی برا در شکل 13 در مدل‌های مختلف کار جاری آورده شده است. همچنین نیروی اندازه‌گیری شده به صورت تجربی توسط دیکینسون و همکاران [24] و یک کار تئوری المان تیغه توسط ترانگ و همکاران [24] نیز آورده شده است. همانطور که در شکل 13 مشاهده می‌شود با توجه به بحث‌های صورت گرفته در بخش‌های قبل سه حالت مختلف در کار جاری بررسی شده است: مدل 1 استفاده از فرمول تجربی ضرایب برآ و پسای بال ارائه شده توسط دیکینسون و همکاران [24] است که با وارد کردن سرعت القایی با استفاده از تئوری دیسک محرک و اصلاح سرعت، نیروی لحظه‌ای بدست آمده است. در مدل 2 از فرمول (10) و (11) برای ضریب برآ و پسای بوده و ضریب k نیز محاسبه گردیده و وارد شده است. مدل 3 نیز استفاده از رابطه‌ی پالهمز است و مشابه حالت قبل فاکتور توان القایی k وارد شده است. در این شکل نیروی تجربی اندازه‌گیری شده [24] و یک مدل‌سازی گذشته بر مبنای تئوری المان تیغه‌ی بهبودیافته [24] نیز آورده شده است. برای حالت بهتری از اعتبار سنجی می‌توان نیروی آیرودینامیکی متوسط را نیز مورد مقایسه قرار داد. هم‌چنان درصد خطای نسبی نسبت به مقدار برآ متوسط در طول یک سیکل بال زدن نسبت به حالت تجربی نیز مورد مقایسه قرار گرفته می‌شود و در جدول 3 آورده شده است. لازم به ذکر است که

**Fig.11** comparison of translational lift coefficient between four models

شکل 11 مقایسه‌ی بین مدل‌های مختلف ضریب برآی انتقالی

**Fig.12** comparison of translational drag coefficient between four models

شکل 12 مقایسه‌ی بین مدل‌های مختلف ضریب پسای انتقالی

مقایسه می‌شوند. همانطور که در بخش 2-2-2 اشاره شد، یکی از روش‌های تئوری بدست آوردن ضرایب نیروی برا و پسای انتقالی بالزن توسط نبوی با استفاده از تئوری خط برآزای پرانتل به صورت رابطه‌ی (10) معرفی شده است. در این فرمول ضریب برآی دو بعدی بال $C_{L_{a,2d}}$ برای صفحه‌ی تخت دارای مقدار تئوری $(0.11\text{deg}^{-1})^{2\pi}$ است. با این وجود کارهای پیشین نشان دادند که این ضریب در رینولدزهای پایین که اکثر حشرات در آن محدوده عمل می‌کنند، کاهش می‌یابد [20]. مقدار 0.09 deg^{-1} برای این پارامتر در نظر گرفته می‌شود [21]. نسبت محیط بال کامل یا دو بال به طول بال کامل E نیز برابر 1.155 بدست می‌آید [22].

نسبت منظری هم با توجه به طول یک بال برابر 3.21 بدست می‌آید [23]. ضریب k نیز از سه قسمت تشکیل شده است. برای k_{ind} مقدار 1.21 در نظر گرفته می‌شود که برای حشره‌ی میوه در پژوهش نبوی [17] محاسبه شده است. حشره‌ی میوه، پلان بالی شبیه پلان بال سوسک دروزوفیلا دارد و از این رو این مقدار انتخاب شده است. همچنین پارامتر k_{tip} توسط فرمول‌های (13) و (14) الینگتون [18] در نظر گرفته می‌شود. فرض بر این گرفته می‌شود که در کار جاری مقدار پارامتر W که همان وزن پرنده است برابر با نیروی متوسط تولیدی در یک سیکل بالزنی توسط بال ساخته شده در بستر آزمایش که توسط ترانگ و همکاران [24] با 0.233 می‌شود. فرکانس بال زدن بوده و در کار جاری برابر با 0.145 است. همچنین 7 نیز زاویه‌ی جاروب شده توسط بال در یک نیم سیکل است که برابر با 160 درجه است. پارامتر n نیز همانطور که در بخش 2-2-2 اشاره شد، برابر 2 در نظر گرفته می‌شود. با جایگذاری مقادیر نهایتاً مقدار k در رابطه‌ی (12) برابر 1.35 محاسبه می‌شود. نهایتاً با جایگذاری مقادیر اشاره شده، روابط (10)، (11) و (16) برای ضرایب برآ و پسای قابل محاسبه می‌باشند. در صورت ایده آل بودن حرکت بال زدن، ضریب فاکتور القایی k ، برابر 1 در نظر گرفته می‌شود. فرمول‌های مورد استفاده به صورت سه مدل در کار جاری معرفی گردیده و در جدول 2 آورده شده است. مدل اول ضریب برآ و پسای را با استفاده از روش تجربی دیکینسون و همکاران [24] محاسبه می‌نماید. در مدل دوم از رابطه‌ی تئوری خط برآزای پرانتل مورد استفاده توسط نبوی برای ضریب برآ استفاده می‌شود. در مدل سوم رابطه‌ی پالهمز مورد استفاده قرار گرفته و در مدل چهارم، همان مدل دوم و در حالت ایده آل $k=1$ استفاده می‌شود.

شکل 11 مقایسه‌ای بین تغییرات ضریب برآ با زاویه‌ی حمله را در چهار مدل کار جاری نشان می‌دهد. همانطور که در این شکل مشاهده می‌شود، ضریب برآی مدل 1 نسبت به بقیه مدل‌ها بیشتر است. همچنین با قراردادن ضریب فاکتور القایی k برابر یک در مدل 4 نیز مقایسه‌ای بین رابطه‌ی بدست آمده توسط نبوی انجام شده است. مشاهده می‌شود که در حالت ایده آل، ضریب برآ نسبت به مدل 2 که مقداری واقعی برای k لحاظ گردیده است، بیشتر است. مدل 3 نسبت به مدل‌های تئوری از مقدار بیشتری برای ضریب برآ برحوردار است. شکل 12 نیز مقایسه‌ای بین ضرایب پسای مدل‌های چهار گانه نیز همانطور که مشاهده می‌شود مدل 1 نسبت به بقیه مدل‌ها ضریب پسای بیشتری دارد. همچنین اختلاف روند پسای مدل 3 برای زوایای حمله‌ی زیاد، به دلیل اختلاف در ضریب برآی اشاره شده در آن محدوده از زاویه‌های حمله است.

جدول 2 مدل‌های بررسی شده برای ضرایب برآ و پسای انتقالی در کار جاری

سرعت‌های بال زدن و پیچش بال توسط یک اسپیلاین برآش شده و با مشتق و انتگرال گیری عددی از این اسپیلاین، مقادیر خواسته شده از زوایا و مشتق دوم حرکت بدست آمدند. دوم اینکه در کار ترانگ و همکاران [24] درباره استفاده از سرعت القایی بحث انجام شده است ولی چگونگی این کار و فرمول بدست آوردن این سرعت در صورت استفاده در کار مزبور، ذکر نشده است. نقطه‌ی قابل توجه درباره مدل 3 این است که نبوی و همکاران انتظار داشتند که رابطه‌ی پالهمز برای بالهایی با نسبت منظری کوچک حداقل تا 1.5 جواب‌های مناسبی در اختیار دهد و افزایش این نسبت باعث پیش‌بینی بیش از حد نیرو گردد که نتیجه کاری جاری موید این امر است.

3-2- بررسی تاثیر پارامترهای حرکتی بر نیروی تولیدی

در پژوهش نبوی و کروزه [11]، فرمول‌هایی برای برآش روند زاویه‌های ورودی ارائه شده است. استفاده از این فرمول‌ها، تغییر در پارامترهای مختلف و بررسی اثرات آنها بر نیروهای آیرودینامیکی را راحت می‌نماید. این فرمول‌ها برای زوایای ψ و θ در روابط (26) و (27) آورده شده است:

$$\psi(t) = \frac{\psi_{\max}}{\sin^{-1}(C_\psi)} (\sin^{-1}[C_\psi \cos(2\pi f t)]) \quad (26)$$

$$\theta(t) = \frac{\theta_{\max}}{\tanh(C_\theta)} (-\tanh[C_\theta \cos(2\pi f t + \delta)]) \quad (27)$$

که ψ_{\max} دامنه‌ی زاویه‌ی بال زدن، θ_{\max} حداقل دامنه‌ی زاویه‌ی پیچش و f فرکانس بال زدن است. δ تأخیر فاز بین زاویه‌های بال زدن و پیچش بوده و پارامترهای C_ψ و C_θ به ترتیب برای کنترل شکل بال زدن و چرخش بال به کار گرفته می‌شوند؛ به طوری که $0 < C_\psi < \infty$ و $0 < C_\theta < \infty$ می‌باشند.

در این بخش به بررسی تاثیر این پارامترها بر نیروی آیرودینامیکی می‌پردازیم. پلان بال مورد بررسی همان مورد اعتبار سنجی است. پارامترهای بررسی شده عبارت‌اند از: فرکانس بال زدن، تأخیر فاز بین زاویه‌های بال زدن و پیچش، حداقل زاویه‌ی بال زدن، حداقل دامنه‌ی پیچش و روند تغییرات زوایای بال زدن و پیچش بال با زمان طی کورس بال زدن. بررسی پارامترها بدین گونه است که یکی از پارامترهای اشاره شده را متغیر فرض کرده و بقیه‌ی پارامترها طبق جدول 4 ثابت در نظر گرفته شده و تاثیر مقادیر مختلف آن پارامتر بر نیروی برآی لحظه‌ای و متوسط مورد بررسی قرار می‌گیرد.

شکل 14 مقایسه‌ای بین نیروهای برآی لحظه‌ای و متوسط در طول دوره‌ی بال زدن در فرکانس‌های مختلف را نشان می‌دهد. مشاهده می‌شود که با افزایش فرکانس بال زدن برآ با شبیه فزاینده در حال افزایش می‌باشد. افزایش فرکانس در یک دامنه‌ی بال زدن ثابت، باعث افزایش سرعت انتقالی می‌شود. سرعت انتقالی به طور مستقیم بر نیروی تولیدی در فرمول (1) اثرگذار است و در نهایت باعث افزایش نیرو می‌شود.

برای بررسی بهتر اثر اختلاف فاز بین زاویه‌ی بال زدن و پیچش بال از پارامتر درصد تأخیر فاز یا pdp استفاده می‌نماییم. به عنوان مثال pdp برابر $+0.08$ بدین معنا است که در نیم کورس رو به پایین به اندازه‌ی 8 درصد طول کل دوره‌ی بال زدن (7)، تغییرات زاویه‌ی پیچش زودتر شروع می‌شود و به تبع آن در شروع نیم کورس رو به بالا نیز این تغییر زودتر پایان می‌یابد.

جدول 4 مقادیر پارامترهای ثابت در بررسی متغیرها (ردیف اول) و دامنه تغییرات آنها (ردیف دوم)

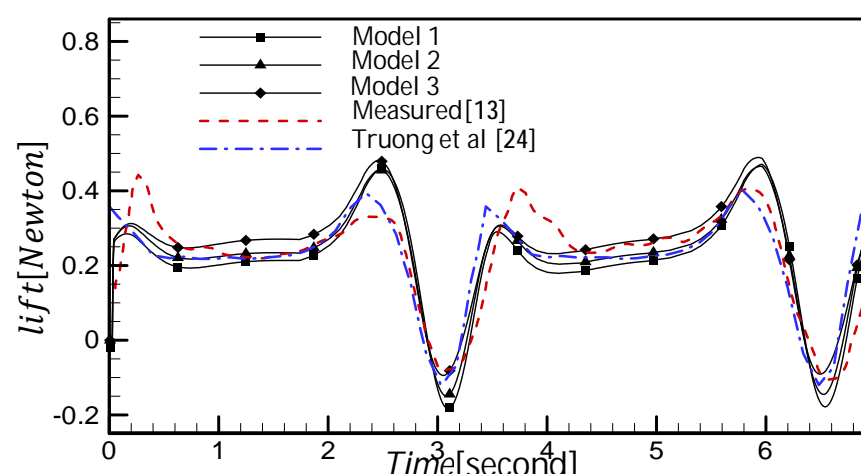


Fig.13 validation of instantaneous lift force in three models of present work with past works

شکل 13 اعتبار سنجی نیروی برآی لحظه‌ای در سه مدل کار جاری با کارهای گذشته

جدول 3 مقایسه نیروی برآی متوسط در کار جاری با کارهای پیشین

Table3 comparison of mean lift of 3 models with past works

مدل مورد بررسی	متوسط نیرو	درصد اختلاف
دیکینسون و همکاران (تجربی) [13]	-	0.233
رامامورتی و همکاران (CFD) [5]	+35.2	0.315
سان و همکاران (CFD) [25]	-29.2	0.165
ترانگ و همکاران 2013 [24]	-5.6	0.220
مدل 1	-11.9	0.205
مدل 2	-4.9	0.222
مدل 3	+6.8	0.249

استفاده‌ی تنها از ضرایب برآ و پسای تجربی و عدم لحاظ سرعت القایی باعث پیش‌بینی بیش از حد نیرو شده و خطای برابر 13 درصد را نشان می‌دهد که بدیهی بوده و لذا در بررسی مدل‌ها آورده نشده است.

نتایج نشان می‌دهند که مدل 2 از لحاظ دقیق تر شبیه سازی نیروی برآی لحظه‌ای بهترین پیش‌بینی را انجام داده است. البته اختلافاتی در قله‌های اول هر نیم سیکل مشاهده می‌شود که می‌تواند به دلیل خطاهایی در برداشت داده‌های نمودارهای حرکات ورودی بالزن و برآش کردن توابع عددی و مشتق‌گیری از آنها باشد. همچنین در نتایج تجربی، اعلام شده که زاویه‌ی پیچش می‌تواند تا حدود 4.5 درجه خطأ با حالت اعلام شده، اختلاف داشته باشد که این امر می‌تواند اختلافات در نیروی برآی لحظه‌ای با کار تجربی و کار تئوری المان تیغه را توجیه نماید. نیروی برآی متوسط بدست آمده توسعه سه مدل اشاره شده با کار تجربی و کارهای عددی دینامیک سیالات محاسباتی و همچنین کار تئوری المان تیغه ترانگ و همکاران [24] مقایسه شد. همانطور که مشاهده شد، نتایج رامامورتی و همکاران دارای پیش‌بینی بیش از حد از نیروی برآ است و سان و همکاران نیز نیرو را کمتر از مقدار صحیح خود پیش‌بینی کرده‌اند و خطای این دو مدل زیاد است. مدل ترانگ و همکاران به دلیل تشابه در اکثر روند شبیه سازی بسیار نزدیک به سه مدل کار جاری است ولی همانطور که مشاهده می‌شود خطای برابر با 5.6 درصد در متوسط نیروی آیرودینامیکی دارد که این خطأ در مدل 2 برابر با 4.9 درصد است. علت اختلاف بین سه مدل استفاده شده در تحقیق جاری و مدل ترانگ و همکاران می‌تواند ناشی از چند عامل باشد: نخست اینکه ترانگ و همکاران در بدست آوردن حرکات بال و مشتق‌های آنها تا مرتبه‌ی دوم سرعت‌های انتقالی و پیچشی بالزن را با جمع سه تابع سینوسی برآش نمود که می‌تواند خطاهایی را نیز همراه خود داشته باشد ولی در کار جاری

Table4 value of constant parameters (first row) and their domain of variation (second row)

f[Hz]	pdp	C_ψ	C_θ	$\psi_{\max}[\deg]$	$\theta_{\max}[\deg]$
0.14	0.06	0.96	2.3	80	50
0.2±0.1	0.2±0.2	1±0	16±1	90±10	80±20

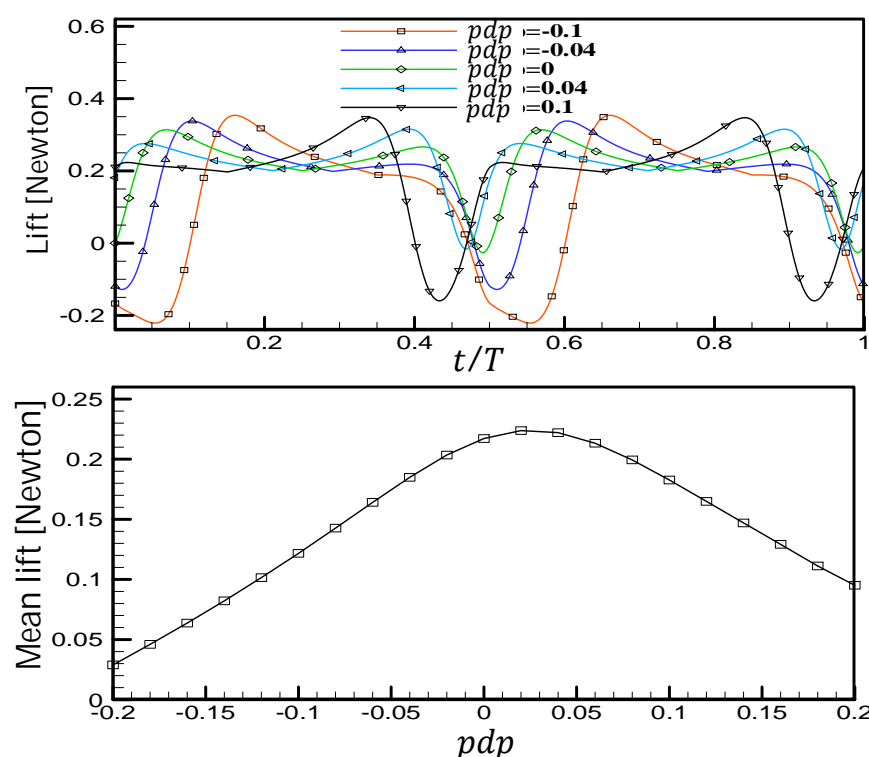


Fig.15 effect of phase difference present on lift

شکل 15 تاثیر درصد اختلاف فاز روزایا بر نیروهای برآی لحظه‌ای و متوسط

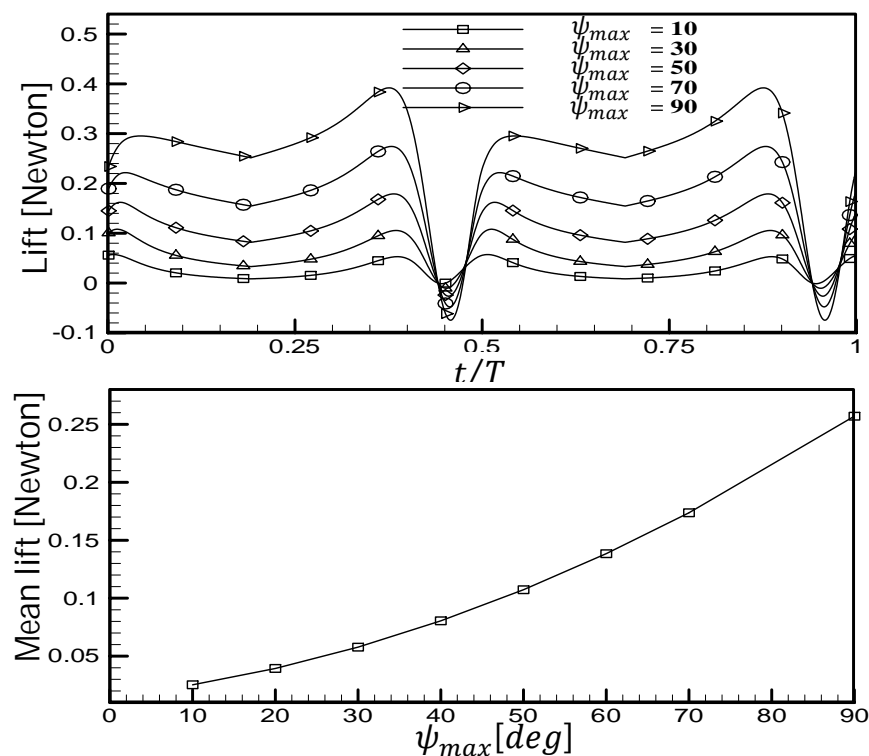


Fig.16 effect of flapping angle amplitude on lift

شکل 16 تاثیر حداکثر دامنه بال زدن بر نیروهای برآی لحظه‌ای و متوسط

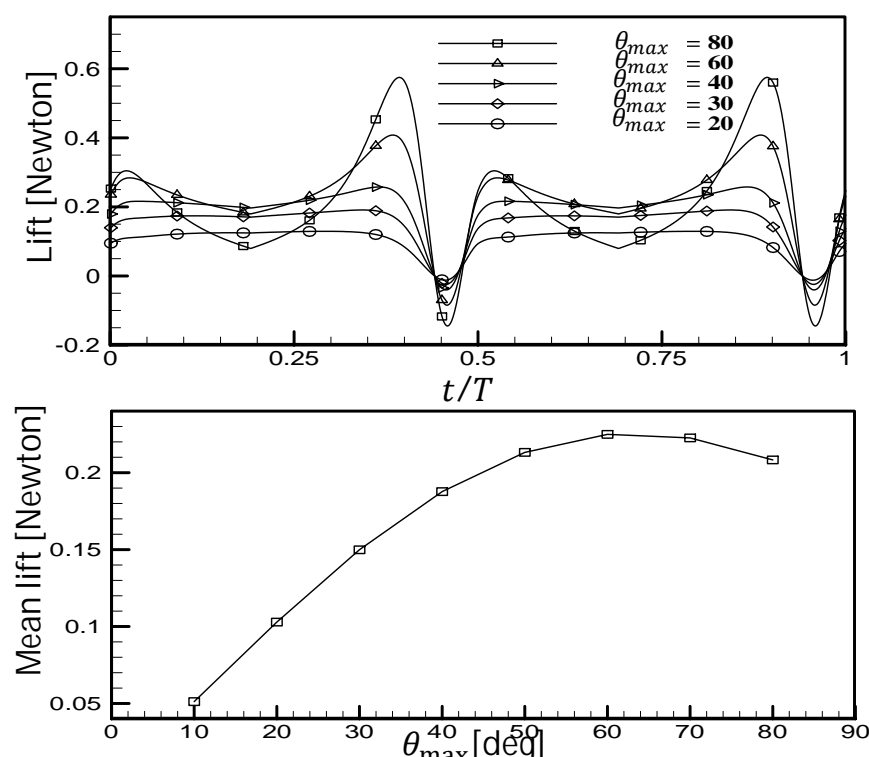


Fig.17 effect of maximum pitching angle on lift

شکل 17 تاثیر حداکثر دامنه پیچش بر نیروهای برآی لحظه‌ای و متوسط

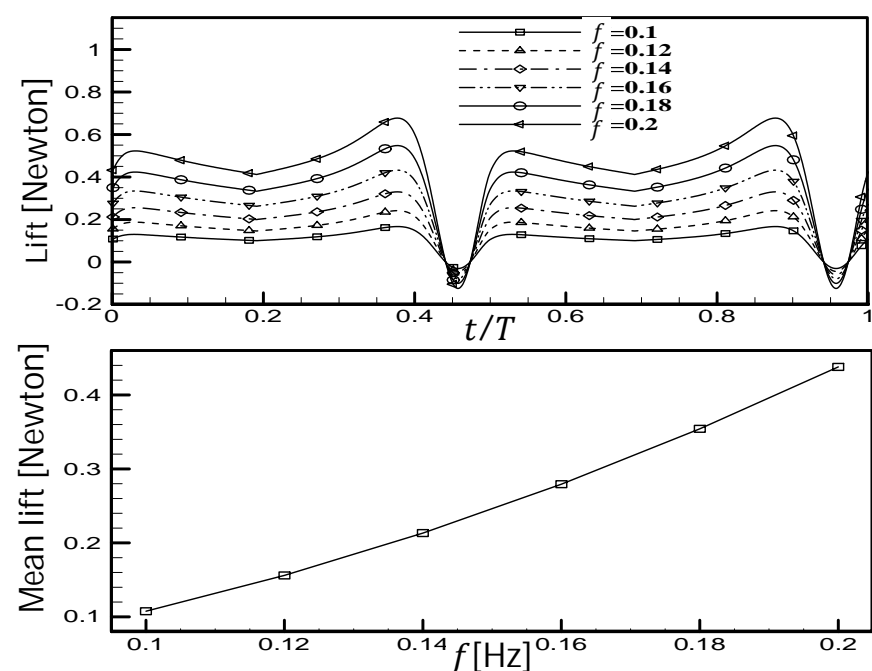


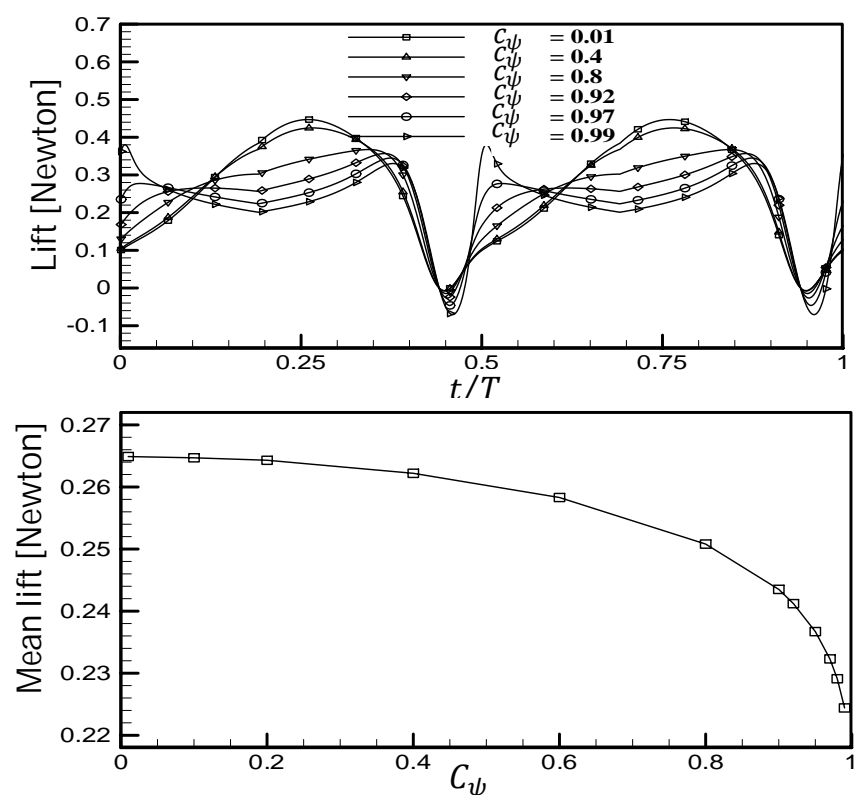
Fig.14 frequency effect on lift

شکل 14 تاثیر فرکانس بر نیروهای برآی لحظه‌ای و متوسط

همچنین pdp برابر 0.08- بدين معناست که در نيم کورس رو به پايين شروع تغييرات زاويه پيچش به اندازه 8 درصد طول كل دوره بال زدن به تأخير می‌افتد و در شروع نيم کورس رو به بالا اين تغييرات مدت زمان بيشتری نسبت به حالت متقارن در جريان است. تغييرات pdp خود را با تغيير پaramترهاي $\psi_r(t)$, $\theta_r(t)$, $\dot{\theta}_r(t)$ نشان داده و بر زاويه حمله بال و به تبع آن نيري انتقالی تاثير می‌گذارد. به تبع آن طبق روابط (19) و (22) بر نیروهای جرم اضافه شده و چرخشی و در نهايت بر نيري برآی کلی اثرگذار خواهد بود. شکل 15 مقایسه‌ای بين نیروهای برآی لحظه‌ای و متوسط در تأخير فاز بين زاويه بال زدن و زاويه پيچش بال مختلف را نشان می‌دهد. همانطور که در نمودار برآی متوسط مشخص است در pdp هایی نزدیک 0.02 تا 0.04 حداکثر مقدار برای نيري متوسط برآ اتفاق می‌افتد که در طراحی يك بالزن اين امر می‌تواند مورد توجه قرار بگيرد.

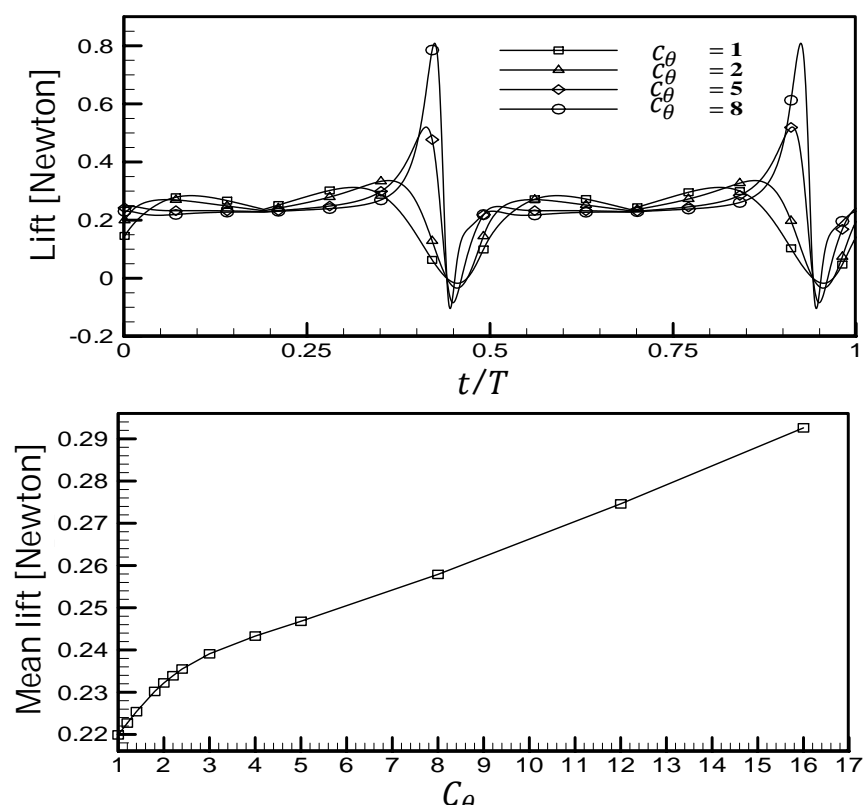
يکی از مهمترین پaramترهاي ورودی تاثير گذار بر نیروهای آيروديناميکی يك پرنده بالزن حداکثر زاويه بال زدن يا دامنه بال زدن آن پرنده است. دامنه بال زدن تاثير بسیار محسوسی بر نیروهای آيروديناميکی دارد. همانگونه که در شکل 16 مشاهده می‌شود با افزایش دامنه بال زدن نيري برآ به طور محسوسی افزایش می‌يابد و با اينکه گامهای زاويه‌ای بين زوایای بررسی شده ثابت است اما نیروها با روندی افزایشي زياد می‌شوند. نمودار پایین شکل 16 نيز اثر تغيير دامنه را بر نيري متوسط آيروديناميکی در يك سیکل بالزنی نشان می‌دهد. همانطور که مشاهده می‌شود با افزایش دامنه بالزنی نيري برآ نيز افزایش می‌يابد و شب اين نمودار نيز با افزایش زاويه بال زدن زياد می‌شود. دليل عمدۀ افزایش نيري با افزایش دامنه بال زدن در فرکانس ثابت، افزایش سرعت انتقالی و به تبع آن افزایش نيري با توجه به فرمول (1) است.

يکی از ديگر پaramترهاي مهم در بال زدن يك پرنده بالزن و به خصوص يك حشره، زاويه پيچش بال است. زاويه پيچش بال با پaramتر حداکثر دامنه پيچش بال θ_{max} مورد بررسی قرار می‌گيرد. شکل 17 مقایسه‌ای بين نيري برآی لحظه‌ای در يك سیکل بال زدن در چند θ_{max} را نشان می‌دهد. همانطور که در نمودار برآی لحظه‌ای مشاهده می‌شود با تغيير از 20 درجه تا 40 درجه شکل کلي نيريها يكسان است و روند تغيير نيريها افزایش است ولی در زاويه 60 و 80 درجه شکل کلي نيري برآ حالتی متفاوت به خود می‌گيرد و يکی از قله‌های برآ در هر نيم سیکل افزایش قابل ذكری دارد که

Fig.19 effect of C_ψ on instantaneous and mean liftشکل 19 تاثیر تغییرات C_ψ بر نیروهای برآی لحظه‌ای و متوسط

نزدیکتر می‌شود در مقابل هرچه C_θ به سمت مقادیر زیاد پیش رود زاویه‌ی پیچش در کورس بال زدن به شکل مربعی نزدیک‌تر می‌شود و این بدین معناست که زاویه‌ی پیچش در طول هر نیم سیکل مقدار ثابت مشخصی داشته و در انتهای هر نیم سیکل به طور ناگهانی تغییر پیدا می‌نماید.

شکل 20 مقایسه‌ای بین نیروهای لحظه‌ای در طول سیکل بال زدن را برای چند مقدار C_θ نشان می‌دهد. همانگونه که در این شکل مشاهده می‌شود با افزایش مقادیر C_θ یکی از قله‌های نیروی برآی موجود در هر نیم سیکل بالزنی افزایش چشمگیری داشته و رشد می‌کند. البته حداقل نمودار هم کاهش می‌یابد که زیاد محسوس نیست. برای مقایسه‌ی بهتر نیروی برآی متوسط نیز در یک کورس بال زدن برای مقادیر متفاوت C_θ بررسی شده است. تغییر ضریب C_θ باعث تغییر در روند تغییرات $\theta(t)$ شده و زاویه حمله بال و به تبع آن نیروی تولیدی را تحت تاثیر قرار می‌دهد. همچنین باعث تغییر در پارامترهای $(t)\dot{\theta}$ و $\ddot{\theta}(t)$ شده و طبق روابط (19) و (22) بر نیروهای جرم اضافه شده و نیروی چرخشی اثر مستقیم دارد. همانطور که در

Fig.20 effect of C_θ on instantaneous and mean liftشکل 20 تاثیر تغییرات C_θ بر نیروهای برآی لحظه‌ای و متوسط

می‌تواند در بحث‌های سازه‌ای مورد توجه قرار گیرد. نمودار پایینی این شکل نیز مقایسه‌ای بین نیروی برآی متوسط در یک سیکل بال زدن برای مقادیر بین 10 تا 90 درجه برای حداکثر زاویه‌ی پیچش بال را نشان می‌دهد. همانطور که مشاهده می‌شود با افزایش حداکثر دامنه‌ی پیچش بال نیروی برآی حدود 60 درجه برای این زاویه، افزایش و پس از آن روند کاهشی دارد که در طراحی باید مورد توجه قرار گیرد. تغییرات θ_{\max} با ثابت ماندن بقیه‌ی پارامترها باعث تغییر در زاویه‌ی حمله‌ی بال طبق رابطه (7) می‌شود. تغییر در زاویه‌ی حمله نیز به طور مستقیم بر ضرایب برآ و پسای انتقالی تاثیر گذاشته و نیروها تحت تاثیر قرار می‌گیرند.

پارامترهای C_ψ و C_θ به ترتیب برای کنترل شکل بال زدن و چرخش بال به کار گرفته می‌شوند؛ به طوری که $1 < C_\psi < \infty$ و $0 < C_\theta < \infty$ می‌باشند. همانطور که در شکل 18 مشاهده می‌شود با میل کردن C_ψ به سمت صفر، $\psi(t)$ شکلی سینوسی شکل به خود می‌گیرد. هم‌چنین هر چه C_ψ به عدد یک نزدیک می‌شود، شکل $\theta(t)$ مثلثی‌تر می‌گردد. در مورد C_θ هرچه به سمت صفر میل کند، شکل $\theta(t)$ سینوسی‌تر می‌گردد و اگر C_θ به سمت بی‌نهایت میل کند $\theta(t)$ شکلی مستطیلی به خود می‌گیرد.

شکل 19 مقایسه‌ای بین نیروی برآی بالزن در چند C_ψ مختلف را نشان می‌دهد. همانگونه که در این شکل مشاهده می‌شود با افزایش C_ψ به سمت مقدار یک و مثلثی شدن روند زاویه‌ی بال زدن دو قله‌ی موجود در هر نیم سیکل دوره‌ی بال زدن تبدیل به یک قله‌ی شده و حداکثر مقدار این قله نیز افزایشی نسبی دارد. در مقادیر C_ψ کم، با میل به سمت مقدار صفر حداقل نمودار نیز کاهش می‌یابد. برای بررسی بهتر، تاثیر C_ψ بر نیروهای متوسط در هر سیکل بال زدن نیز مورد بررسی قرار گرفته است. همانگونه که مشاهده می‌شود با افزایش C_ψ و به تبع آن مثلثی شدن روند زاویه‌ی بال زدن نیروی برآی متوسط کاهش می‌یابد که این امر نشان می‌دهد روند سینوسی در یک سیکل بال زدن برای زاویه‌ی بال زدن حالتی مطلوب است. باید خاطرنشان شود که تغییر ضریب C_ψ باعث تغییر عمدی در پارامترهای $(t)\dot{\psi}$ و $\ddot{\psi}(t)$ شده و بر روی سرعت انتقالی و شتاب نقطه‌ی مرتع بال طبق رابطه (19) تاثیر گذاشته و نیروهای انتقالی و جرم اضافه شده را تحت تاثیر قرار می‌دهد.

همانطور که در بخش‌های قبل اشاره شد ضریب C_θ می‌تواند مقادیری بین صفر تا بی‌نهایت را داشته باشد. هر چه مقدار این ضریب به سمت صفر نزدیک شود، روند زاویه‌ی پیچش در کورس بال زدن به شکل سینوسی

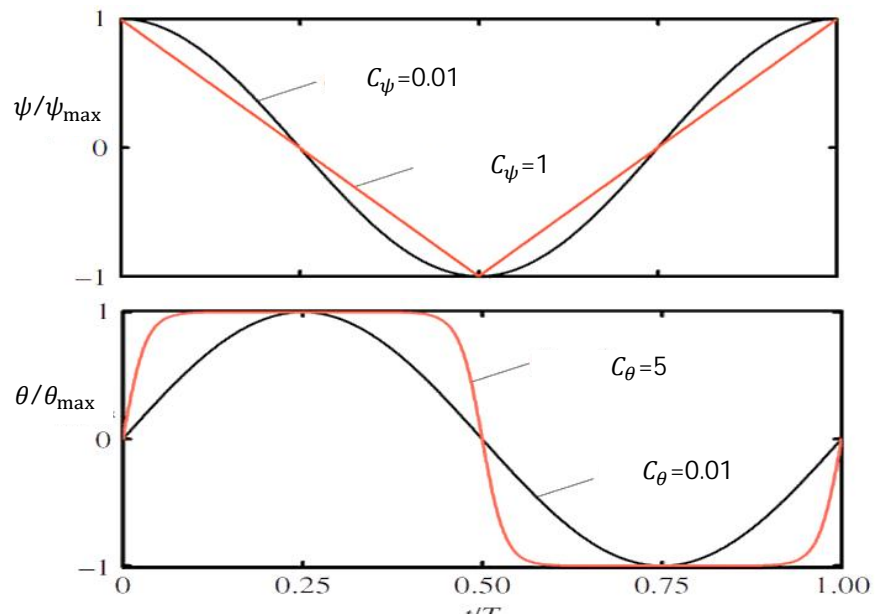


Fig.18 diagram of specific state of fitting equation of flapping and pitching angle[11]

شکل 18 نمودار حالت‌های خاص روابط زاویه‌ی بال زدن و پیچش بال

- برای طراحی بالزن پیشنهاد گردید.
- تغییرات زاویه‌ی پیچش بال با زمان طی کورس بال زدن مورد بررسی قرار گرفت. نشان داده شد که با افزایش ضریب C_0 که باعث مربعی شدن روند تغییرات زاویه‌ی می‌شود، نیروی برآ افزایش می‌یابد. البته بررسی نیروی لحظه‌ای برآ نشان داد که در طراحی بالزن برای جلوگیری از محدودیت‌های سازه‌ای ناشی از نیروهای زیاد لحظه‌ای اعمالی بر بالزن، باید از مقادیر زیاد این ضریب اجتناب شود.

این شکل مشاهده می‌شود با افزایش C_0 مقادیر برآی متوسط در یک کورس بال زدن افزایش پیدا می‌نماید. نگاه اولیه به این شکل نشان می‌دهد که مقادیر C_0 بیشتر برای رسیدن به برآی بیشتر بهتر است ولی با نگاه دقیق تر باید در نظر داشته باشیم که با افزایش C_0 طبق شکل 20 در قسمت‌هایی از زمان کورس بال زدن نیرو تغییرات شدیدی دارد و افزایش ناگهانی پیدا می‌کند و این می‌تواند برای بحث‌های کنترلی و سازه‌ای در طراحی بالزن مشکلاتی را پدید آورد. لذا در بررسی این ضریب باید دقت بیشتری را مد نظر قرار داد.

5-فهرست علامت

طول بال (m)	R
پهنای المان بال (m)	dr
فاصله محلی المان روی بال (m)	r
دستگاه مختصات مرجع	xyz
وتر بال (m)	c
سرعت وارده بر مقطع بال (ms^{-1})	V
سرعت القایی (ms^{-1})	V_i
سرعت انتقالی بال (ms^{-1})	V_T
نیروی برآی وارده بر مقطع بال (N)	dL
نیروی پسای وارده بر مقطع بال (N)	dD
مساحت المان بال (m^2)	dS
جرم بال (Kg)	M
شتاب گرانش زمین (ms^{-2})	g
سطح موثر دیسک بالزن (m^2)	S_d
نسبت محیط پلان بال به طول بال	E
نسبت منظری بال	AR
فاکتور توان القایی	k
وزن حشره (N)	W
فرکانس ضربه‌ی برآی لحظه‌ای در طول یک سیکل بال زدن (Hz)	n
شتاب نقطه مرجع بال (ms^{-2})	a_n
فاصله نقطه مرجع با لبه حمله بال (m)	x_r
فاصله محور چرخش بال با لبه حمله بال (m)	x_f
نیروی وارده بر المان بال (N)	dF
فرکانس بال زدن (Hz)	f
زمان (s)	t
درصد تاخیر فاز بین زاویه بال زدن و پیچش بال	pdp
دستگاه مختصات محلی	$\zeta\eta\xi$
زاویه بال زدن (deg)	ψ
زاویه بین جهت مثبت محور η و وتر مقطع بال (deg)	θ_r
زاویه‌ی بین وتر مقطع بال و سرعت انتقالی (deg)	θ
زاویه حمله بال (deg)	α
اختلاف بین θ و α (deg)	φ
چگالی (Kgm^{-3})	ρ
زاویه‌ی جاروب کردن بال طی زاویه‌ی بال زدن (deg)	γ
گردش ناشی از چرخش بال	Γ
تاخیر فاز بین زوایای بال زدن و پیچش بال (rad)	δ

4-بحث و نتیجه گیری

در این پژوهش روش‌های مورد بررسی بالزن‌ها در حرکت ترکیبی بال زدن و پیچش بال توسط پژوهشگران مورد بررسی قرار گرفت. بر اساس تئوری جت رانکین-فروود، الگوریتم جدیدی برای اصلاح سرعت القایی و وارد کردن مستقیم این سرعت بر سرعت‌های محلی در روش تئوری المان تیغه معرفی گردید. روش‌های شاخص وارد کردن اثرات القایی در تئوری المان تیغه در کارهای گذشته و روش جدید ارائه شده برای اعتبار سنجی یک نمونه بال در مدل شده‌ی حشره‌ی دروزوفیلا در حرکت ترکیبی بال زدن و پیچش بال در پرواز ایستا، توسط نرمافزاری بر اساس زبان برنامه‌نویسی فورترن، به کار گرفته شد. مقایسه بین نیرو برآی لحظه‌ای بدست آمده برای روش‌های پیشین و روش جدید (با عنوان مدل 1) با نتایج تجربی منتشر شده انجام پذیرفت و روند تمام مدل‌ها مناسب ارزیابی شد. در بررسی نیروی متوسط در طول سیکل بال زدن، اختلاف نتیجه الگوریتم جدید با کار تجربی حدود 12 درصد بدست آمد و این در حالی بود که در بررسی نیروی متوسط یکی از روش‌های بر مبنای وارد کردن غیر مستقیم اثرات القایی (مدل 2) بهترین پیش‌بینی را داشته و اختلافی نزدیک به 5 درصد را با نتیجه تجربی نشان داد. استفاده از رابطه‌ی پالهمز نیز در مدل 3 برای این اعتبار سنجی مورد توجه قرار گرفت. همانطور هم که پیش‌بینی می‌شد، به دلیل بالاتر بودن نسبت منظری در مورد اعتبار سنجی کار جاری نسبت به محدوده‌ی این نسبت برای جواب مناسب این رابطه، مدل 3 به پیش‌بینی بیش از حد نیروی برآ منجر گردید. بر اساس موارد فوق مدل 2 برای اعتبار سنجی این بال به عنوان مدل مناسب برای حساسیت سنجی نیروی برآ به پارامترهای حرکتی، انتخاب گردید.

در ادامه کار جاری شش پارامتر حرکتی بال برای بررسی تاثیر تغییرات آن‌ها بر نیروی برآ در پرواز ایستای بال مدل شده این حشره، معرفی شدند. حساسیت سنجی نیروی برآی لحظه‌ای و متوسط به نتایج زیر منجر گردید:

- با افزایش فرکانس بال زدن نیروی برآی تولیدی به طور فزاینده‌ای افزایش یافت.

- محدوده‌ی درصد اختلاف فاز بین دو زاویه بال زدن و پیچش بال برابر $+0.04$ تا $+0.02$ به عنوان محدوده‌ای که بیشترین نیروی برآ را در پی دارند، معرفی گردید.
- نشان داده شد که با افزایش دامنه زاویه بال زدن، نیروی برآ افزایش می‌یابد. همچنین شبیه تغییرات برآ نیز فراینده بود.
- تغییرات برآ بر حسب حداکثر دامنه پیچش بال با افزایش این زاویه ابتدا افزایش و سپس کاهش یافت. برای مقدار حداکثر دامنه پیچش بال حدود 60 درجه، بیشترین نیروی برآ بدست آمد.
- نتایج نشان دادند که با سینوسی شدن روند تغییرات زاویه‌ی بال زدن با زمان، نیروی برآی تولیدی افزایش پیدا می‌نماید. این روند

- [7] J. A. Walker, M. W. Westneat, Mechanical performance of aquatic rowing and flying, *Proc Biol Sci*, Vol. 267, No. 1455, pp. 1875-81, Sep 22, 2000.
- [8] S. P. Sane, M. H. Dickinson, The aerodynamic effects of wing rotation and a revised quasi-steady model of flapping flight, *Journal of Experimental Biology*, Vol. 205, No. 8, pp. 1087-1096, Apr, 2002.
- [9] Z. A. Khan, S. K. Agrawal, Optimal hovering kinematics of flapping wings for micro air vehicles, *AIAA Journal*, Vol. 49, No. 2, pp. 257-268, 2011.
- [10] Q. Truong, Q. Nguyen, V. Truong, H. Park, D. Byun, N. Goo, A modified blade element theory for estimation of forces generated by a beetle-mimicking flapping wing system, *Bioinspiration & biomimetics*, Vol. 6, No. 3, pp. 036008, 2011.
- [11] M. R. Nabawy, W. J. Crowther, On the quasi-steady aerodynamics of normal hovering flight part II: model implementation and evaluation, *J R Soc Interface*, Vol. 11, No. 94, pp. 20131197, May 6, 2014.
- [12] U. M. Norberg, *Vertebrate flight: mechanics, physiology, morphology, ecology and evolution*: springer, 1990.
- [13] M. H. Dickinson, F.-O. Lehmann, S. P. Sane, Wing rotation and the aerodynamic basis of insect flight, *Science*, Vol. 284, No. 5422, pp. 1954-1960, 1999.
- [14] H. T. Schlichting, E. A. Truckenbrodt, *Aerodynamics of the Airplane*: McGraw-Hill Companies, 1979.
- [15] R. T. Jones, *Correction of the lifting line theory for the effect of the chord*, DTIC Document, pp. 1941.
- [16] I. H. Abbott, *Theory of wing sections, including a summary of airfoil data*, pp. 1-30: Courier Corporation, 1959.
- [17] M. R. Nabawy, W. J. Crowther, On the quasi-steady aerodynamics of normal hovering flight part I: the induced power factor, *J R Soc Interface*, Vol. 11, No. 93, pp. 20131196, Apr 6, 2014.
- [18] C. Ellington, The aerodynamics of hovering insect flight: V. A vortex theory, *Philosophical Transactions of the Royal Society of London. B. Biological Sciences*, Vol. 305, pp. 115-144, 1984.
- [19] E. C. Polhamus, A concept of the vortex lift of sharp-edge delta wings based on a leading-edge-suction analogy, pp. 6-13, 1966.
- [20] G. Spedding, J. McArthur, Span efficiencies of wings at low Reynolds numbers, *Journal of Aircraft*, Vol. 47, No. 1, pp. 120-128, 2010.
- [21] M. Okamoto, K. Yasuda, A. Azuma, Aerodynamic characteristics of the wings and body of a dragonfly, *The Journal of Experimental Biology*, Vol. 199, No. 2, pp. 281-294, 1996.
- [22] *Applied Aerodynamics: A Digital Textbook*, Desktop Aeronautics , Slender Body Theory, Accessed January 2007; <http://docs.desktop.aero/appliedaero/potential3d/SlenderTheory.html>.
- [23] G. J. Berman, Z. Wang, Energy-minimizing kinematics in hovering insect flight, *Journal of Fluid Mechanics*, Vol. 582, pp. 153-168, 2007.
- [24] T. Q. Truong, V. H. Phan, H. C. Park, J. H. Ko, Effect of wing twisting on aerodynamic performance of flapping wing system, *AIAA journal*, Vol. 51, No. 7, pp. 1612-1620, 2013.
- [25] M. Sun, J. Tang, Unsteady aerodynamic force generation by a model fruit fly wing in flapping motion, *Journal of Experimental Biology*, Vol. 205, No. 1, pp. 55-70, 2002.

زیرنویس‌ها

دو بعدی	$2d$
برآی مربوط به المان بال	l
پسای مربوط به المان بال	d
برآی مربوط به بال	L
پسای مربوط به بال	D
القایی	ind
نوك بال	tip
ناشی از بالزن	$flap$
پالهمز	$polhamus$
چرخشی	rot
مربوط به زاویه بال زدن	ψ
مربوط به زاویه پیچش بال	θ
حداکثر	max

6-مراجع

- [1] F. Minotti, Unsteady two-dimensional theory of a flapping wing, *Physical Review E*, Vol. 66, No. 5, pp. 051907, 2002.
- [2] B. A. Roccia, S. Preidikman, J. C. Massa, D. T. Mook, Modified unsteady vortex-lattice method to study flapping wings in hover flight, *AIAA journal*, Vol. 51, No. 11, pp. 2628-2642, 2013.
- [3] H. Aono, A. Gupta, D. Qi, W. Shyy, The lattice Boltzmann method for flapping wing aerodynamics, in *Proceeding of*.
- [4] I. H. Tuncer, M. Kaya, Optimization of flapping airfoils for maximum thrust and propulsive efficiency, *AIAA journal*, Vol. 43, No. 11, pp. 2329-2336, 2005.
- [5] R. Ramamurti, W. C. Sandberg, A three-dimensional computational study of the aerodynamic mechanisms of insect flight, *Journal of Experimental Biology*, Vol. 205, No. 10, pp. 1507-1518, 2002.
- [6] H. Liu, C. P. Ellington, K. Kawachi, C. Van Den Berg, A. P. Willmott, A computational fluid dynamic study of hawkmoth hovering, *The journal of experimental biology*, Vol. 201, No. 4, pp. 461-477, 1998.